

UNIVERSIDADE TECNOLÓGICA FEDERAL DO PARANÁ
DAELN - DEPARTAMENTO ACADÊMICO DE ELETRÔNICA
ENGENHARIA ELETRÔNICA

CHARLES REIS RIBEIRO, MATEUS PRZYSIADA ZEM

**APLICATIVO PARA SMARTPHONE PARA MEDIÇÃO DA ÁREA
DE FERIDAS DEMARCADAS EM FOLHAS TRANSPARENTES**

TRABALHO DE CONCLUSÃO DE CURSO

CURITIBA
2019

CHARLES REIS RIBEIRO, MATEUS PRZYSIADA ZEM

**APLICATIVO PARA SMARTPHONE PARA MEDIÇÃO DA ÁREA
DE FERIDAS DEMARCADAS EM FOLHAS TRANSPARENTES**

Trabalho de Conclusão de Curso apresentado ao Engenharia Eletrônica da Universidade Tecnológica Federal do Paraná, como requisito parcial para a obtenção do título de Bacharel em Engenharia Eletrônica.

Orientador: Gustavo Benvenuto Borba
UTFPR

Coorientador: Adriano Antônio Mehl
UTFPR

CURITIBA
2019

CHARLES REIS RIBEIRO
MATEUS PRZYSIADA ZEM

APLICATIVO PARA *SMARTPHONE* PARA MEDIÇÃO DA ÁREA DE FERIDAS DEMARCADAS EM FOLHAS TRANSPARENTES

Este Trabalho de Conclusão de Curso de Graduação foi apresentado como requisito parcial para obtenção do título de Engenheiro Eletrônico, do curso de Engenharia Eletrônica do Departamento Acadêmico de Eletrônica (DAELN) outorgado pela Universidade Tecnológica Federal do Paraná (UTFPR). Os alunos foram arguidos pela Banca Examinadora composta pelos professores abaixo assinados. Após deliberação, a Banca Examinadora considerou o trabalho aprovado.

Curitiba, 12 de julho de 2019.

Prof. Dr. Robinson Vída Noronha
Coordenador de Curso
Engenharia Eletrônica

Prof^a. Dr^a. Carmen Caroline Rasera
Responsável pelos Trabalhos de Conclusão de Curso
de Engenharia Eletrônica do DAELN

BANCA EXAMINADORA

Prof. Dr. Gustavo Benvenuti Borba
Universidade Tecnológica Federal do Paraná
Orientador

Prof. Me. Valfredo Pilla Júnior
Universidade Tecnológica Federal do Paraná

Prof. Me. Adriano Antônio Mehl
Universidade Tecnológica Federal do Paraná
Coorientador

Prof. Me. Daniel Rossato de Oliveira
Universidade Tecnológica Federal do Paraná

Prof. Dr. Bertoldo Schneider Júnior
Universidade Tecnológica Federal do Paraná

A folha de aprovação assinada encontra-se na Coordenação do Curso de Engenharia Eletrônica.

AGRADECIMENTOS

Agradecemos o Programa de Educação Tutorial (PET) Engenharia Eletrônica da Universidade Tecnológica Federal do Paraná, Curitiba, programa no qual tivemos o primeiro contato com a ideia da criação do aplicativo deste trabalho.

A imaginação muitas vezes nos leva a mundos que nunca sequer existiram. Mas sem ela, não vamos a lugar nenhum (SAGAN, Carl, 1980).

RESUMO

RIBEIRO, Charles Reis; ZEM, Mateus Przysiada. APLICATIVO PARA SMARTPHONE PARA MEDIÇÃO DA ÁREA DE FERIDAS DEMARCADAS EM FOLHAS TRANSPARENTES. 2019. 60 f. Trabalho de Conclusão de Curso – Engenharia Eletrônica, Universidade Tecnológica Federal do Paraná. Curitiba, 2019.

A hiperglicemia em pessoas portadoras de diabetes causa deficiências no processo de cicatrização da pele. Estas deficiências na cicatrização podem resultar em feridas graves, que exigem tratamentos específicos, para os quais é necessário o acompanhamento da área da ferida. Um método bastante difundido e eficaz para a medição da área é sobrepor uma folha transparente na ferida e traçar nesta folha o seu contorno. Posteriormente, realiza-se a medida (cálculo) da área. No entanto, é possível afirmar que o cálculo manual não fornece o valor exato da área da ferida, já que os contornos tendem a ser irregulares. Neste trabalho, apresenta-se o desenvolvimento e a avaliação de um aplicativo para *smartphone* que realiza o cálculo desta área com erros menores se comparados ao cálculo manual. O usuário captura a imagem da folha contendo o contorno da ferida utilizando a câmera do *smartphone* e um algoritmo de segmentação semi-automática deste contorno realiza o cálculo da área. Para os testes, foram criados contornos de áreas conhecidas e os erros relativos médios obtidos no cálculo destas áreas foram entre 0,8 e 3,4%. Estes resultados são comparáveis àqueles relatados em trabalhos similares, o que comprova que a solução desenvolvida neste trabalho é confiável e pode auxiliar os profissionais de saúde na tarefa de acompanhar as alterações nas áreas das feridas durante o tratamento.

Palavras-chave: Feridas em diabéticos, Medição de área, Segmentação semi-automática, Aplicativo Android

ABSTRACT

RIBEIRO, Charles Reis; ZEM, Mateus Przysiada. Smartphone app for wound area measurement using an image of transparent sheet with the borders drawn. 2019. 60 f. Trabalho de Conclusão de Curso – Engenharia Eletrônica, Universidade Tecnológica Federal do Paraná. Curitiba, 2019.

Hyperglycemia in people with diabetes causes deficiencies in the healing process of the skin. Those deficiencies in the healing process may cause severe wounds, which demands specific treatments, requiring constant monitoring of the wound area progression. A very widespread and effective method for measuring the wound area is placing a transparent film over the wound and tracing the wound contour on the sheet. Next, the wound area is measured (calculated). However, it is possible to state that the manual calculation does not provide the exact value of the area of the wound since the contours tend to be irregular. This work presents the development and evaluation of a smartphone application, which calculates the wound area with minor errors when compared to the manual calculation. The user captures the image of the film containing the wound contour using the smartphone camera and a semi-automatic segmentation algorithm of this contour performs the area calculation. For the tests, contours of known areas were created and the mean relative errors obtained in the calculation of these areas were between 0.8 and 3.4 %. These results are comparable to those reported in similar studies, which proves that the solution developed in this work is reliable and can assist health professionals in the task of monitoring changes in wound areas during treatment.

Keywords: Wound in diabetics, Area measurement, Semi-automatic segmentation, Android App

LISTA DE FIGURAS

Figura 1 – Exemplo de feridas nas extremidades do corpo em diabéticos.	21
Figura 2 – Régua para o desenho do contorno da ferida.	23
Figura 3 – Exemplo de medição utilizando o <i>software</i> Digimizer.	24
Figura 4 – Resultado da medição utilizando o <i>software</i> Digimizer.	24
Figura 5 – Medição de ferida usando Visitrak. Na imagem, observa-se o acetato no qual desenha-se o contorno da ferida, posicionado sobre o <i>tablet</i>	25
Figura 6 – Exemplo de uso da plataforma WoundMatrix.	26
Figura 7 – Diagrama em blocos do algoritmo.	27
Figura 8 – Fluxograma do algoritmo de seleção automática dos quatro vértices da grade. O algoritmo do bloco <i>binariza com valores de gaussianblurValue e cannyValue</i> é descrito na Figura 9.	28
Figura 9 – Fluxograma do algoritmo de binarização utilizado pela função de seleção automática dos quatro vértices da grade, apresentado na Figura 8, no bloco denominado <i>binariza com valores gaussianblurValue e cannyValue</i>	29
Figura 10 – Operação de convolução em imagens. Exemplo para uma máscara de convolução 3x3.	29
Figura 11 – Afinamento do Canny	30
Figura 12 – Gráfico de histerese	30
Figura 13 – Exemplo de resultado do algoritmo de detecção de bordas de Canny. À esquerda a imagem original e à direita a imagem com as bordas detectadas.	31
Figura 14 – Exemplo de saída da função <i>findContours</i> do OpenCV para a imagem de entrada da Figura 13.	32
Figura 15 – Exemplo de resultado da função <i>approxPolyDP</i> . À esquerda um exemplo de falha na seleção do maior contorno. À direita, mostra-se um exemplo de sucesso ao detectar o maior contorno	33
Figura 16 – Régua em cores e em tons de cinza.	35
Figura 17 – À esquerda, resultado da binarização usando um único limiar, à direita, resultado da binarização usando o método descrito por (BRADLEY, 2007)	35
Figura 18 – Seleção manual do interior da ferida.	37
Figura 19 – Imagem original e imagem afinada.	37
Figura 20 – Ordem dos pixels	37
Figura 21 – Ação do erode	38
Figura 22 – Elemento estrutural 3x3	39
Figura 23 – Linhas que cruzam a imagem afinadas e resultado após erosão	39
Figura 24 – Diagrama UML do aplicativo desenvolvido.	40

Figura 25 – Exemplo de zoom usando uma <i>view</i> customizada da biblioteca <i>Subsampling Scale Image. View</i>	42
Figura 26 – Diagrama UML do <i>AppService</i> para persistência dos dados e comunicação entre as atividades.	42
Figura 27 – Tela principal mostrando a aparência do aplicativo após a sua inicialização.	43
Figura 28 – Tela de delimitação das quatro extremidades da grade da régua.	44
Figura 29 – Tela de seleção de limiar (<i>threshold</i>) da operação de <i>Bradley Local Threshold</i> . Ao interagir com a barra da parte inferior, o usuário pode ajustar o nível de binarização, fazendo com que se evite a escolha de imagens com contornos não contínuos.	45
Figura 30 – Fluxograma da classe <i>Flood Fill</i>	46
Figura 31 – Operação de <i>Flood Fill</i> completada após os toques necessários do usuário .	46
Figura 32 – Tela final exibindo o valor da área obtida da ferida.	47
Figura 33 – Exemplo de amostra seguindo as condições citadas.	48
Figura 34 – Exemplo de amostra simulando o formato de uma ferida.	50
Figura 35 – Exemplo de amostra seguindo as condições citadas	50
Figura 36 – Amostra de má qualidade antes da binarização.	51
Figura 37 – Amostra de má qualidade.	51
Figura 38 – Problema decorrente do contorno com falha.	52

LISTA DE QUADROS

Quadro 1 – Curabilidade de feridas.	20
---	----

LISTA DE TABELAS

Tabela 1 – Resultado dos testes com circunferências de raio conhecido e erros de outros aplicativos.	49
Tabela 2 – Resultado dos testes com figuras que simulam feridas.	50
Tabela 3 – Resultado dos testes sem favorecer a qualidade da medição	51

LISTA DE ABREVIATURAS E SIGLAS

API	<i>Application programming interface</i>
DAELN	Departamento Acadêmico de Eletrônica
DFU	<i>Diabetic Foot Ulcer</i>
DFS	<i>Diabetic foot syndrome</i>
DM	<i>Diabetes Mellitus</i>
GUI	<i>Graphical User Interface</i>
NDK	<i>Native Development Kit</i>
OpenCV	<i>Open source computer vision</i>
PDI	Processamento digital de imagem

LISTA DE ALGORITMOS

Algoritmo 1 – FloodFill	36
-----------------------------------	----

SUMÁRIO

1 – INTRODUÇÃO	15
1.1 CONTEXTO E JUSTIFICATIVA	15
1.2 OBJETIVO GERAL	16
1.3 OBJETIVOS ESPECÍFICOS	16
1.4 ESTRUTURA DO DOCUMENTO	17
2 – FUNDAMENTAÇÃO TEÓRICA	18
2.1 FERIDAS	18
2.1.1 CAUSAS DE FERIDAS	18
2.1.2 FASES DA CICATRIZAÇÃO DE FERIDAS	18
2.1.2.1 HOMEOSTASE	18
2.1.2.2 INFLAMAÇÃO	19
2.1.2.3 PROLIFERAÇÃO	19
2.1.2.4 MATURAÇÃO	19
2.2 PROCESSO DE CURA DE FERIDAS	19
2.3 DIABETES	19
2.4 FERIDAS EM DIABÉTICOS	20
2.5 MEDIÇÃO DE FERIDAS	21
2.5.1 PARÂMETROS DIMENSIONAIS DE FERIDAS	21
2.5.2 MEDIÇÕES APROXIMADAS DE FERIDAS	22
2.6 SOLUÇÕES EXISTENTES PARA A MEDIÇÃO DA ÁREA DE FERIDAS	22
2.6.1 RÉGUA UTILIZADA NESTE TRABALHO	22
2.6.2 DIGIMIZER	23
2.6.3 VISITRAK	25
2.6.4 WOUNDMATRIX	25
3 – ALGORITMO PARA MEDIÇÃO DA ÁREA DE FERIDAS	27
3.1 SELEÇÃO DA GRADE DA RÉGUA	27
3.1.1 FILTRO GAUSSIANO	27
3.1.2 DETECÇÃO DE BORDAS DE CANNY (CANNY EDGE DETECTION)	27
3.1.3 FUNÇÃO FINDCONTOURS DO OPENCV	31
3.1.4 FUNÇÃO APPROXPOLYDP DO OPENCV	31
3.1.5 GETPERSPECTIVETRANSFORM E WARPPERSPECTIVE	32
3.1.5.1 GETPERSPECTIVETRANSFORM	33
3.1.5.2 WARPPERSPECTIVE	34
3.2 BINARIZAÇÃO	34

3.3	SELEÇÃO DA REGIÃO DE INTERESSE	36
3.4	CÁLCULO DA ÁREA	39
4	– APLICATIVO ANDROID	40
4.1	OPENCV 4.0	41
4.2	GERENCIAMENTO E EXIBIÇÃO DE IMAGENS	41
4.3	PERSISTÊNCIA DE DADOS E COMUNICAÇÃO ENTRE ATIVIDADES	41
4.4	<i>TELA PRINCIPAL</i>	43
4.5	CLASSE IMAGEADJUSTMENTACTIVITY	43
4.6	CLASSE <i>BINARIZATION</i>	44
4.7	CLASSE <i>FLOODFILL</i>	45
4.8	CLASSE <i>SKELETON</i>	47
5	– ANÁLISE E DISCUSSÃO DOS RESULTADOS	48
6	– CONCLUSÕES	53
6.1	TRABALHOS FUTUROS	54
	Referências	55
	 Anexos	 56
	ANEXO A – Implementação em Java do algoritmo Zhang-Suen Thinning	57

1 INTRODUÇÃO

No ano de 2016 o Ministério da Saúde apontou que aproximadamente 8,9% da população brasileira sofria de diabetes, doença caracterizada pela resistência do corpo a insulina, ou problemas com sua produção (VILLINES, 2019). Dentre outras funções, a insulina é um dos hormônios responsáveis pela regulação da quantidade de glicose na corrente sanguínea (glicemia), sua baixa disponibilidade pode levar a hiperglicemia (excesso de glicose no sangue).

Diabéticos possuem um processo de cicatrização mais lento que não portadores dessa doença, isso porque a hiperglicemia cascadeia uma série de fenômenos que levam a este retardo, dentre eles: o sistema imunológico tem a resposta prejudicada, tornando feridas mais suscetíveis a infecções; e problemas circulatórios, o que faz com que menos nutrientes cheguem até a área danificada (LIMA, 2013).

A hiperglicemia também causa neuropatias (danos aos nervos), fenômeno que não retarda a cicatrização diretamente, porém leva à perda de sensibilidade (CS, 1990). Por sentir menos dor, o diabético se torna mais propenso a não notar que se machucou e feridas em regiões raramente observadas podem ficar tempo o suficiente sem serem percebidas para que infecções se instaurem no local e gerem complicações. Em situações graves, feridas que podem progredir a ponto de tornarem-se necessárias amputações. Nestes casos, é necessário acompanhamento médico para assegurar que o quadro destas feridas não se agrave a este ponto.

O tratamento envolve a limpeza e proteção da ferida, controle da glicemia e utilização de medicamentos. É importante que o médico responsável pelo tratamento acompanhe o desenvolvimento da ferida, fotografando-a e medindo sua área com certa periodicidade, pois a diminuição da área é considerada o principal indicativo de sucesso do tratamento. A *Wound Healing Society* afirma que pacientes que não apresentam diminuição de pelo menos 40% na área da ferida após quatro semanas de terapia, devem ter seu tratamento reavaliado e outras abordagens devem ser consideradas (SHEEHAN, 2003).

Um método bastante difundido e eficaz para a medida da área é sobrepor uma folha transparente na ferida e traçar nesta folha o seu contorno. Posteriormente, realiza-se a medida (cálculo) da área (KEAST, 2004). No entanto, é possível afirmar que o cálculo manual não fornece o valor exato da área da ferida, já que os contornos tendem a ser irregulares. Neste trabalho, apresenta-se o desenvolvimento e a avaliação de um aplicativo para *smartphone* que realiza a aquisição da imagem da folha contendo o contorno da ferida e o cálculo semi-automático da área.

1.1 CONTEXTO E JUSTIFICATIVA

Existem métodos que calculam a área diretamente a partir de uma fotografia da ferida. Uma referência de área conhecida é colocada no plano da ferida (ao lado da ferida) permitindo

a obtenção da área dos pixels da imagem. Assim, calcula-se a área da ferida contando o número de pixels pertencentes à ferida. No entanto, estes métodos desconsideram a curvatura da superfície, o que resulta em uma medida subestimada da área. Já no método utilizado nesse trabalho, que se baseia no traçado do contorno da ferida em uma folha transparente, este erro é evitado, pois a folha está em contato direto com a ferida (KEAST, 2004).

Este trabalho foi realizado sob a consultoria do Dr. Adriano Mehl, que realiza procedimentos de medida de área de feridas frequentemente. Assim, a folha utilizada nesse trabalho para traçar o contorno da ferida é a mesma utilizada por ele. Trata-se de uma folha transparente feita de acetato, contendo uma área para a identificação do paciente (nome e outros dados) e um campo de 17cm de largura por 22cm de altura, contendo uma grade com quadrados de 1cm x 1cm, sobre a qual é desenhado o contorno da ferida. Neste trabalho, denomina-se esta folha de *régua*.

A medida da área da ferida desenhada nesta folha pode ser obtida de duas maneiras: (i) contando o número de quadrados presentes dentro do contorno da ferida. (ii) Para medidas mais precisas a régua é escaneada, a imagem é transferida para um computador e, com a utilização de um *software*¹, seleciona-se o contorno da ferida com o mouse e aponta-se uma referência de tamanho conhecido na imagem. O programa calcula a área. Esse processo é demorado e exige um *scanner*.

O aplicativo para *smartphone* desenvolvido neste trabalho torna a obtenção da medida da área da ferida a partir do contorno desenhado na régua mais precisa se comparada ao método (i) e mais prática e rápida se comparada ao método (ii).

Podemos tornar o processo de obtenção de uma medida precisa muito mais rápido e sem a utilização de um *scanner* fazendo uma aplicação para *smartphone*. Por utilizar um contorno que leva em consideração a curvatura da superfície do membro lesionado do paciente, o método pode ser mais preciso que os que utilizam fotos feitas diretamente das lesões.

1.2 OBJETIVO GERAL

Desenvolver um aplicativo para dispositivos móveis baseados em *Android* para medir a área de uma ferida, a partir da foto da régua com o desenho do contorno da ferida.

1.3 OBJETIVOS ESPECÍFICOS

- Desenvolver o algoritmo em ambiente de prototipagem para o processamento da imagem.
- Traduzir o algoritmo desenvolvido para um código em linguagem orientada a objeto.
- Portar o código para execução no sistema operacional *Android*.
- Realizar experimentos para aferir a precisão das medidas obtidas pela aplicação.

¹ Digimizer, <<https://www.digimizer.com/>>

1.4 ESTRUTURA DO DOCUMENTO

Este relatório de Trabalho de Conclusão de Curso está estruturado da seguinte forma: primeiramente os dados gerais sobre a problemática encontrada são apresentados, discorrendo sobre feridas e diabetes. Em seguida, descreve-se o algoritmo desenvolvido para a medida da área da ferida e, posteriormente, a implementação deste algoritmo para a plataforma *Android*. Finalmente, apresentam-se os resultados de testes de usabilidade e precisão na medição da área.

2 FUNDAMENTAÇÃO TEÓRICA

2.1 FERIDAS

A pele humana é considerada o maior órgão do corpo, possuindo até sete camadas de tecido ectodermal. Ela oferece proteção contra patógenos, o sentido do tato, termorregulação, controle de evaporação, armazenamento de água e lipídios etc. Uma ferida acontece quando as características anatômicas da pele são afetadas (BRASIL, 2013).

2.1.1 CAUSAS DE FERIDAS

As feridas ocorrem em seres humanos por razões como as abaixo (OSTERD, 1998):

- Trauma inicial ou repetitivo
- Queimaduras térmicas ou químicas
- Mordidas ou picadas de animais
- Pressão
- Comprometimento vascular (arterial, venoso ou linfático)
- Imunodeficiência
- Tumores malignos
- Doenças em tecidos conectivos
- Deficiências nutricionais
- Problemas psico-sociais
- Efeitos adversos de medicações
- Doenças metabólicas, como diabetes, foco desse trabalho

2.1.2 FASES DA CICATRIZAÇÃO DE FERIDAS

Tipicamente a cicatrização ocorre em quatro grandes etapas, descritas nas próximas sessões.

2.1.2.1 HOMEOSTASE

Nesta fase, que começa logo após a ferida ser causada – a não ser que o paciente tenha problemas de coagulação – plaquetas começam a aderir a área afetada; tais plaquetas convertem-se numa substância amorfa, e ativam substâncias como a fibrina (oriunda da glicoproteína fibrinogênio) que serve como uma rede e faz as plaquetas aderirem entre si formando uma espécie de coágulo.

As plaquetas também são responsáveis pela liberação dos fatores de crescimento que irão permitir o acontecimento das próximas etapas de cicatrização, ao permitir o recrutamento de neutrófilos, monócitos e fibroblastos, a estimulação de células epiteliais (OSTERD, 1998).

2.1.2.2 INFLAMAÇÃO

Durante esta fase, que dura até dias, as células mortas ou danificadas são removidas junto com patógenos e resíduos. Nesta etapa o tecido afetado acaba recebendo plasma e neutrófilos, sendo estas células responsáveis pelo processo de fagocitose. Após o pico de neutrófilos, os macrófagos entram em cena. É um processo caracterizado por edema, eritema, calor e possível dor (OSTERD, 1998).

2.1.2.3 PROLIFERAÇÃO

É o processo no qual o novo tecido começa a crescer, ocorrendo por volta de 4 dias até pelo menos o dia 21 após a ocorrência da ferida; nesta fase ocorre a angiogênese (criação de novos vasos sanguíneos), contração das bordas da ferida em direção ao seu centro e a epitelização do tecido a fim de preenchê-lo (OSTERD, 1998).

2.1.2.4 MATURAÇÃO

O tecido novo criado adquire força e flexibilidade. Ocorre o realinhamento das fibras de colágeno. As principais células desse processo são os fibroblastos. Devido ao fato de o processo de maturação ser demorado, podendo durar até 2 anos, é necessário manter atenção aos fatores causadores da ferida para não comprometer o processo (OSTERD, 1998).

2.2 PROCESSO DE CURA DE FERIDAS

O processo de cicatrização define o tipo de ferida: em casos em que ele ocorre de forma natural, tem-se uma ferida **aguda**; caso contrário, numa ferida **crônica**, os processos de cicatrização não ocorrem de forma esperada. Um dos resultados pode ser a não retomada das características originais do tecido ferido. Há ainda de se considerar a possibilidade de cura, ou não, das feridas, o que é mostrado no quadro 1.

2.3 DIABETES

Diabetes é uma doença crônica séria que resulta em alta glicose sanguínea devido aos problemas com a produção ou reconhecimento da insulina, um hormônio que regula o nível de glicose no sangue (BRASIL, 2013).

O diabetes tipo 1 é caracterizado por um déficit na produção da insulina. No momento, a causa da doença não é conhecida de forma que ela não é uma doença prevenível (WHO, 2016).

Por outro lado, o diabetes tipo 2 é relacionada ao não reconhecimento correto pelos receptores da insulina no corpo. É o tipo de diabetes com maior número de pacientes pelo mundo. Os sintomas podem ser semelhantes aos do tipo 1, mas podem ser mais brandos ou

Quadro 1 – Curabilidade de feridas.

Tipos de feridas	Características	Exemplos
Curável	Causas e co-fatores que podem interferir com a cura foram removidos. Cura de ferida acontece de forma previsível. Pode ser aguda ou crônica.	Úlcera de pressão na qual pressão e outros fatores são gerenciados.
Gerenciável	Causas e cofatores que interferem com o tratamento são removíveis, porém não foram removidos por conta de fatores sistêmicos do paciente.	Úlcera de pressão na qual a pressão não é gerenciada.
Incurável	Causas e cofatores que podem interferir com a cura não podem ser removidos.	Pé gangrenoso ou ferida maligna.

Fonte: Osterd (1998)

até ausentes. Por causa disso, o diagnóstico pode ser retardado em vários anos, quando as complicações já são graves. (WHO, 2016)

2.4 FERIDAS EM DIABÉTICOS

O diabetes mellitus (DM) tipo 2 é um distúrbio metabólico de alta mortalidade causado por hiperglicemia e mudanças no metabolismo de substâncias por conta de falhas, sejam na secreção ou na ação da insulina. (BRASIL, 2013).

DM é uma doença de grande expressão no cenário mundial, especialmente em países emergentes, sendo o tipo de diabetes com mais afetados no mundo. No caso da América Central e do Sul, a prevalência da DM foi estimada em 40 milhões para o ano de 2030 pela Federação Internacional de Diabetes. É esperado, ainda, que o Brasil passe da oitava posição (prevalência de 4,6%) para a sexta posição, 11,3%, em 2030. Quanto às complicações relacionadas a feridas, podem ser problemas de cicatrização, úlceras crônicas e até mesmo amputações de membros (BRASIL, 2013).

No caso da cicatrização de feridas em pacientes diabéticos, não se costuma observar um processo ordenado em nenhuma de suas fases características (OKONKWO, 2019). As ulcerações provocadas pelo diabetes são presentes como feridas doloridas com desintegração da epiderme, derme e em diversos casos, do tecido subcutâneo. A neuropatia diabética é o problema mais comum dos pacientes diabéticos e afeta o sistema nervoso periférico. Ela pode se manifestar de maneira assintomática, o que prejudica a sensibilidade que confere proteção contra lesões nas extremidades do corpo (exemplo na Figura 1) (BRASIL, 2013). De forma geral, por volta de 25% dos pacientes diabéticos terão problemas de cicatrização em feridas nos membros inferiores em algum momento da vida, sendo que a taxa de amputações de grande

escala, mundialmente, é de 0,5 a 5 por 1000 afetados por diabetes (JEFFCOATE, 2003).

Figura 1 – Exemplo de feridas nas extremidades do corpo em diabéticos.



Fonte: <<https://www.ufrgs.br/lidia-diabetes/2018/04/28/pe-diabetico/>>

2.5 MEDIÇÃO DE FERIDAS

A cada consulta de um paciente diabético com feridas, as mesmas devem ser medidas. As medições são parte importante do gerenciamento de feridas, pois fornecem subsídios para se definir e acompanhar o tratamento. Além disso, é sabido que as 4 primeiras semanas de acompanhamento são decisivas no sentido de apontar o sucesso ou não do tratamento do paciente (SHEEHAN, 2003), uma vez que os afetados que não respondam às técnicas convencionais podem precisar de tratamento prolongado.

2.5.1 PARÂMETROS DIMENSIONAIS DE FERIDAS

Diferentes parâmetros podem ser medidos em uma ferida, conforme descrito a seguir (KEAST, 2004):

- Área: a medição repetida de áreas de feridas pode monitorar e prever o avanço no tratamento, sendo que desenhar o contorno da ferida sobre uma folha transparente proporciona uma medição válida. Além da área, simplesmente a largura e o comprimento da ferida podem trazer certas informações importantes sobre a sua condição. No entanto, é sabido que estas técnicas comumente superestimam o tamanho da ferida, sendo a medição de grandes feridas, ou aquelas de formato irregular, particularmente afetada.
- Profundidade: Pode ser medida, por exemplo, com uma haste de algodão devidamente esterilizada inserida na parte mais funda do ferimento, e está correlacionada com a gravidade do prejuízo ao tecido.
- Volume: Pode ser útil em situações de feridas profundas, nas quais a cicatrização costuma acontecer da base ao topo, de forma que a área acaba não tendo alterações. Entretanto, no caso geral, a medição de volume costuma ser contraindicada devido à falta de métodos padronizados para sua aferição. Diversos problemas estão ligados a esse tipo de medição,

por exemplo, dificuldade de definir as bordas da ferida; mudanças de volume resultantes da simples mudança do posicionamento; impacto da curvatura do corpo etc.

2.5.2 MEDIÇÕES APROXIMADAS DE FERIDAS

É possível utilizar um retângulo para aproximar a área de uma ferida, a partir da medição do seu comprimento e largura (maiores cordas) (equação 1). No entanto, embora prático, este método não é indicado pois pode superestimar em até 44% a área. Caso não se disponha de sistemas para a medida da área que considerem o formato particular da ferida, a área que melhor aproxima grande parte das feridas planas é a de uma elipse (equação 2), que tende a superestimar em 13% a área da ferida (KEAST, 2004).

$$A_{rect} = Comprimento \times Largura \quad (1)$$

$$A_{elipse} = Comprimento \times Largura \times \pi/4 \quad (2)$$

2.6 SOLUÇÕES EXISTENTES PARA A MEDIÇÃO DA ÁREA DE FERIDAS

Técnicas para medir feridas no ambiente médico são diversas e atualmente costumam envolver fotografia digital por conta de sua praticidade e relativo baixo custo. No entanto, há de se considerar que o processo não é trivial, devido ao fato de haver problemas na captação da imagem (contraste, resolução ou iluminação inadequada etc), pelo fato de feridas muitas vezes terem um formato não plano (como no caso de membros) e pela dificuldade de se delimitar automaticamente as fronteiras entre a ferida e a pele sadia (segmentação).

2.6.1 RÉGUA UTILIZADA NESTE TRABALHO

A régua é mostrada na Figura 2. É composta por uma folha transparente feita de acetato, contendo uma área para a identificação do paciente (nome e outros dados) e um campo de 17cm de largura por 22cm de altura, contendo uma grade com quadrados de 1cm x 1cm, sobre a qual é desenhado o contorno da ferida. É importante mencionar que esta régua não entra em contato direto com a ferida, pois utiliza-se uma película de acetato transparente entre a ferida e a régua. O objetivo desta película é evitar a contaminação do paciente, já que ela é esterilizada, e também da própria régua com o contorno, já que esta será utilizada para a medida da área da ferida e armazenada no prontuário.

A régua para medir feridas foi projetada e desenvolvida pelo médico Adriano Antônio Mehl¹ que protocolou o pedido de registro junto ao INPI (Instituto Nacional da Propriedade Industrial) e teve a Concessão do Registro publicada na Revista da Propriedade Industrial-RPI 2362 página 260 em 12 de abril de 2016 sob o número BR 30 2012 004137-6.

¹ <<http://lattes.cnpq.br/7095979310782838>>

Figura 2 – Régua para o desenho do contorno da ferida.

CONTROLE N°	
NOME: _____	LESÃO: _____
Idade: _____ Sexo: () M () F Data: ____/____/____ Hora: ____:____	Superfície ↑ X ← _____ cm ²
Instituição: _____ Pronto-úário: _____	Maior profundidade _____ cm
Cidade: _____ Estado: _____	Volume _____ cm ³
Médico/Enfermagem: _____	Fotografia <input type="checkbox"/> S <input type="checkbox"/> N
Tipo de Lesão: _____	N° da foto _____
Localização da lesão: _____	

www.ediforantefeculdar.com.br (11) 2339-4440															
08	07	06	05	04	03	02	01	02	03	04	05	06	07	08	09
							+								
							11								
							10								
							09								
							08								
							07								
							06								
							05								
							04								
							03								
							02								
							01								
							20								
							21								
							22								
							23								
							24								
							25								
							26								
							27								
							28								
							29								
							30								
							31								
							32								
							33								
							34								
							35								
							36								
							37								
							38								
							39								
							40								
							41								
							42								
							43								
							44								
							45								
							46								
							47								
							48								
							49								
							50								
							51								
							52								
							53								
							54								
							55								
							56								
							57								
							58								
							59								
							60								
							61								
							62								
							63								
							64								
							65								
							66								
							67								
							68								
							69								
							70								
							71								
							72								
							73								
							74								
							75								
							76								
							77								
							78								
							79								
							80								
							81								
							82								
							83								
							84								
							85								
							86								
							87								
							88								
							89								
							90								
							91								
							92								
							93								
							94								
							95								
							96								
							97								
							98								
							99								
							100								

Venda: editora@ediforantefeculdar.com.br (11) 2339-4440
 www.ediforantefeculdar.com.br
 Identificar com uma seta o posicionamento da lesão como referência a cabeça do(a) paciente.
 Maior eixo longitudinal _____ cm
 Maior eixo transversal _____ cm

Fonte: Autoria própria

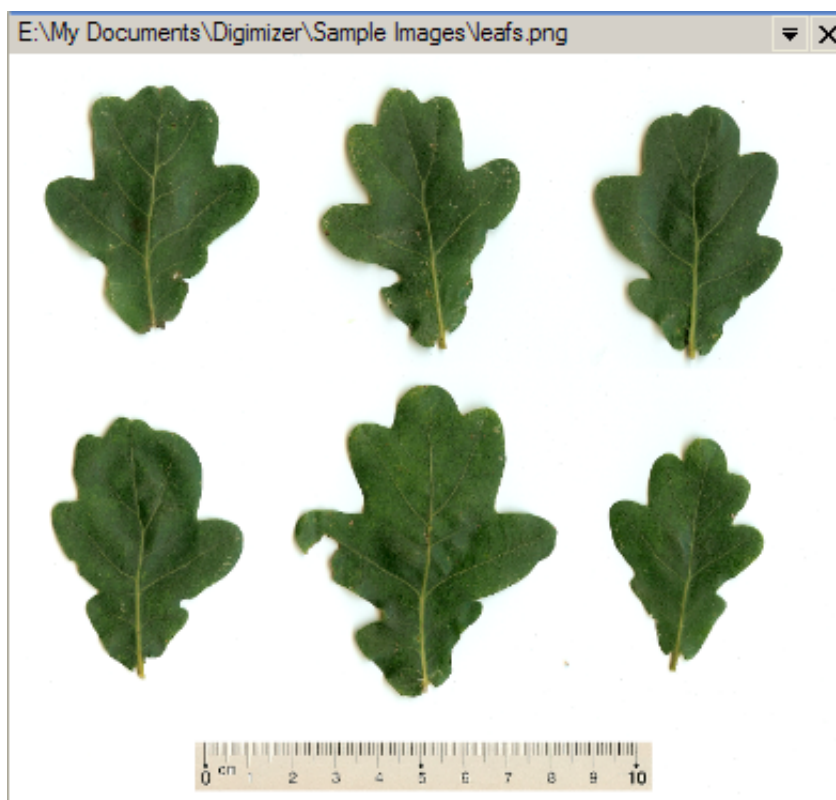
2.6.2 DIGIMIZER

Uma solução utilizada para medir a área de feridas digitalmente é analisar a imagem do acetato escaneada com um programa que sirva pra medir áreas. Um dos mais utilizados é o Digimizer, um *software* pago para *Windows* destinado à detecção de figuras e suas características. Neste processo de medição, pressupõe-se que exista um referencial de escala, como uma régua ilustrada na figura 3, para calibrar a medição.

O processo de medição com o Digimizer de forma semi-automática consiste nas seguintes etapas (mostradas na Figura 3):

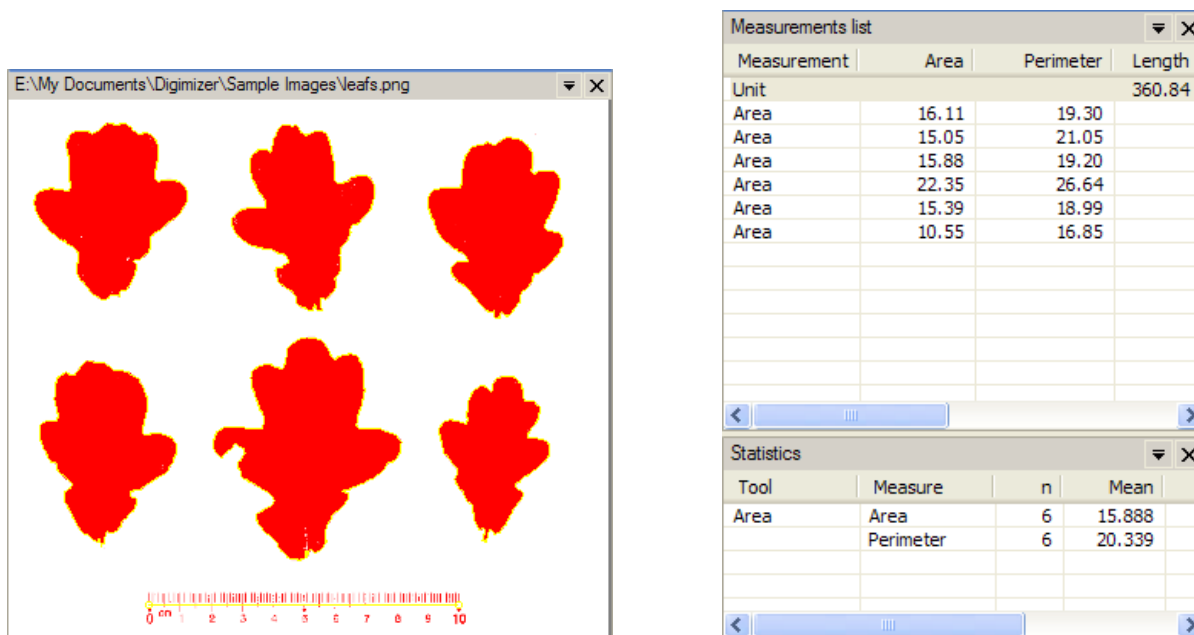
- Carregamento da imagem no computador.
- Correção do contraste.
- Seleção da régua de referência.
- Binarização da imagem e seleção do limiar.
- Obtenção dos resultados de perímetro e área da imagem (Figura 4).

Figura 3 – Exemplo de medição utilizando o software Digimizer.



Fonte: <<https://www.digimizer.com/manual/example-leafs.php>>

Figura 4 – Resultado da medição utilizando o software Digimizer.

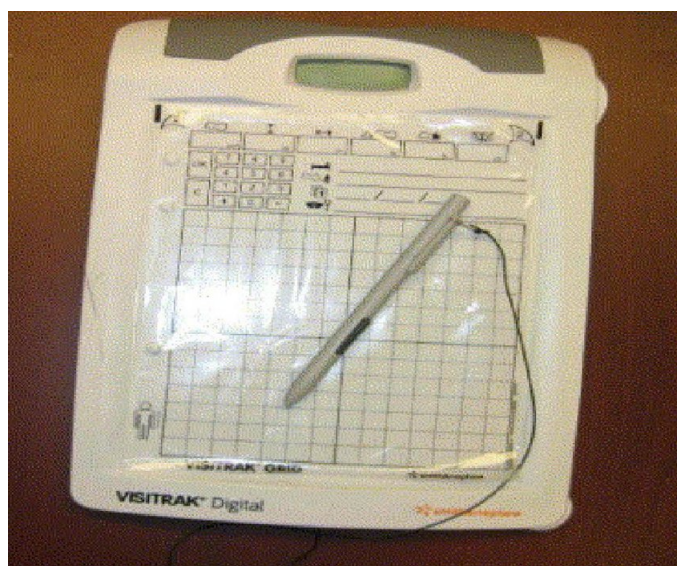


Fonte: <<https://www.digimizer.com/manual/example-leafs.php>>

2.6.3 VISITRAK

O Visitrak (Figura 5) é um equipamento para medição de feridas composto de um *tablet* com uma caneta especial e de uma régua, de uso único, composta de três camadas, que serve para desenhar um contorno sobre a área de interesse com um marcador permanente. O sistema permite a medida das dimensões da ferida (área, comprimento, largura). O acetato é então colocado sobre o *tablet* e a caneta especial deve ser utilizada para retrazar o contorno da ferida. O *tablet* converte o contorno desenhado em uma área de medida e pode aferir também a mudança percentual da área com relação às últimas medições.

Figura 5 – Medição de ferida usando Visitrak. Na imagem, observa-se o acetato no qual desenha-se o contorno da ferida, posicionado sobre o *tablet*.

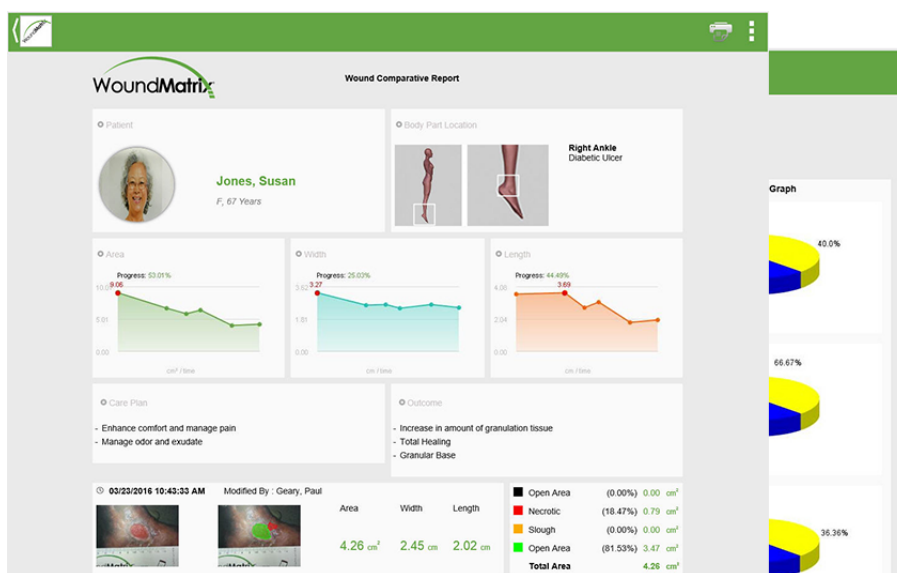


Fonte: <https://www.researchgate.net/figure/Visittrak-digital-device-Intervention-A-brief-questionnaire-was-introduced-to-obtain-each_fig3_258513247>

2.6.4 WOUNDMATRIX

O WoundMatrix é uma plataforma fundada em 2000 focada em tecnologia de documentação de feridas. Ela permite aos usuários capturar, medir e fazer *upload* de fotos tiradas por meio de um *app* para uma interface *web* (figura 6). Nela também é possível manter controle simultâneo de diversos pacientes.

Figura 6 – Exemplo de uso da plataforma WoundMatrix.



Fonte: <<http://www.woundmatrix.com/woundmatrix.aspx>>

3 ALGORITMO PARA MEDIÇÃO DA ÁREA DE FERIDAS

Após a traçar o contorno da ferida e descartar a película que entrou em contato com a pele do paciente, o profissional da saúde deve colocar a régua sobre uma superfície de cor clara e adquirir uma imagem. Esta imagem é tratada com o algoritmo (Figura 7) descrito na sequência deste capítulo.

Figura 7 – Diagrama em blocos do algoritmo.



Fonte: Autoria própria

3.1 SELEÇÃO DA GRADE DA RÉGUA

A imagem da régua contendo a grade na qual foi desenhado o contorno da ferida pode já estar presente na galeria do *smartphone* ou pode ser adquirida pela câmera. Esta imagem é submetida à biblioteca *SmartCropper*¹, que sugere as posições dos quatro vértices da grade, conforme o algoritmo do fluxograma da Figura 8. O bloco chamado *binariza com valores de gaussianblurValue[j]* e *cannyValue[i]* realiza as operações descritas no fluxograma da Figura 9.

3.1.1 FILTRO GAUSSIANO

No processamento de imagens, é comum a utilização de filtros espaciais baseados na convolução. Supondo uma imagem em níveis de cinza, uma das formas de filtrar é alterar o valor de um pixel com base no valor dos pixels vizinhos. Multiplicam-se os valores dos pixels vizinhos do pixel alvo por coeficientes e soma-se os resultados para obter o novo valor, conforme ilustrado na Figura 10.

O filtro passa-baixas Gaussiano é utilizado para suavizar o ruído na imagem. A equação 3 permite a construção de uma máscara (*kernel*) Gaussiana 2D.

$$h(x,y) = \exp \frac{-(x^2 + y^2)}{2\sigma^2} \quad (3)$$

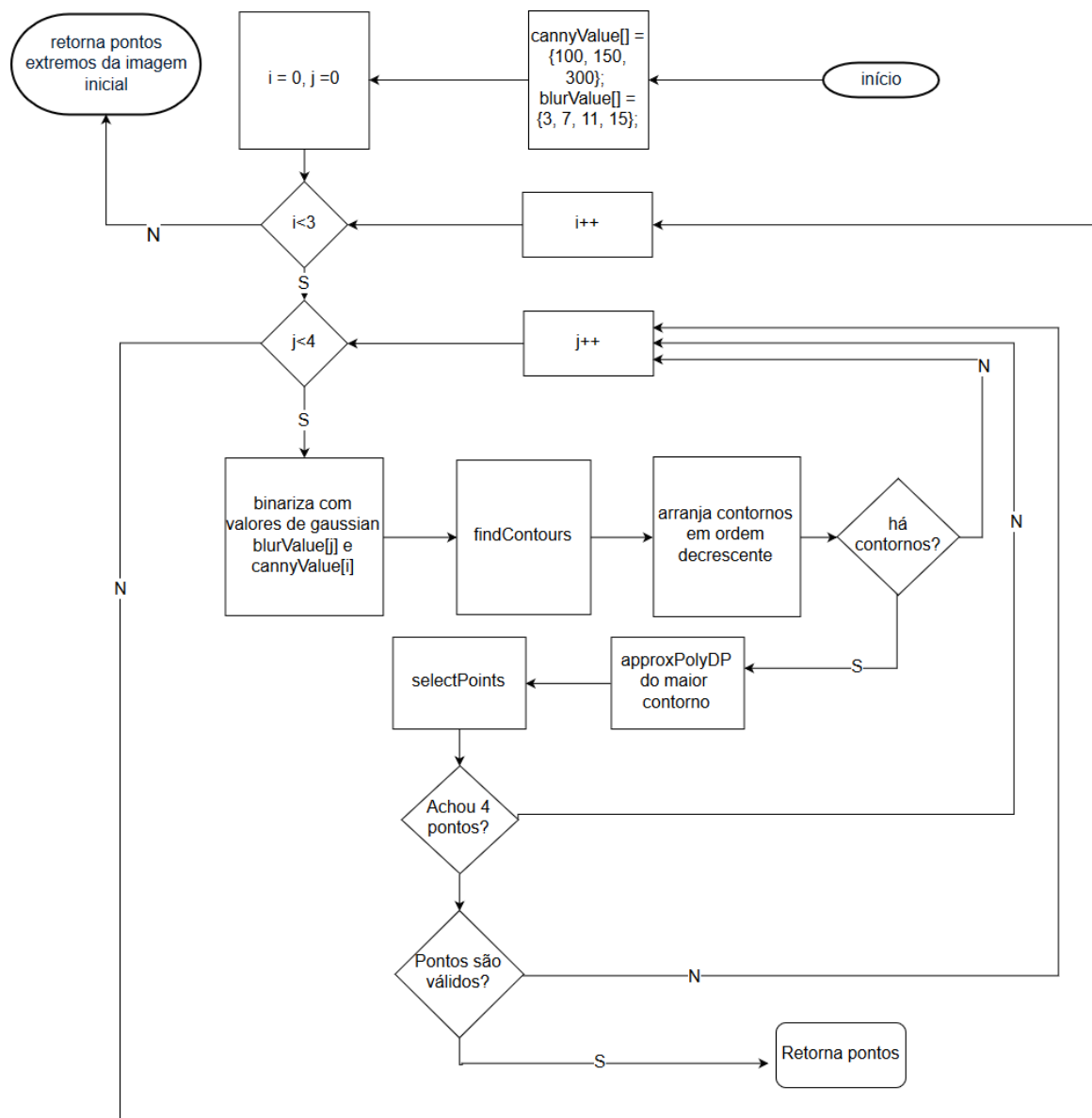
O parâmetro σ (desvio padrão) é ajustável e controla a abertura da Gaussiana. Quanto maior o valor de σ , mais pronunciada é a suavização.

3.1.2 DETECÇÃO DE BORDAS DE CANNY (CANNY EDGE DETECTION)

As etapas a seguir descrevem o algoritmo *Canny Edge Detection* (CANNY, 1986):

¹ <<https://github.com/pqpo/SmartCropper/>>

Figura 8 – Fluxograma do algoritmo de seleção automática dos quatro vértices da grade. O algoritmo do bloco *binariza com valores de gaussianblurValue e cannyValue* é descrito na Figura 9.

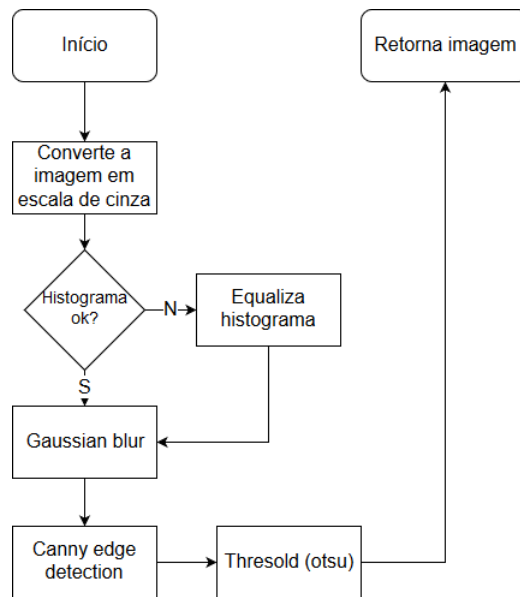


Fonte: Autoria própria

1. Aplicar filtro Gaussiano de 5x5 (como na sub-sessão 3.1.1), pelo fato de a detecção de bordas ser sensível ao ruído.
2. Achar os gradientes de intensidade da imagem por meio de um *kernel* de Sobel tanto na direção horizontal quanto na vertical. Cada pixel de cada uma destas duas imagens (resultados do filtro vertical e horizontal) têm as características de gradiente (equação de borda 4) e ângulo (5).

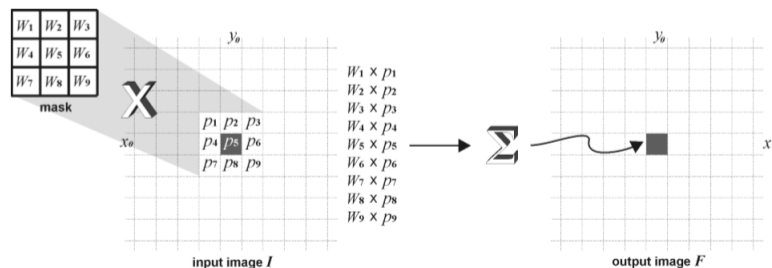
$$G = \sqrt{G_x^2 + G_y^2} \tag{4}$$

Figura 9 – Fluxograma do algoritmo de binarização utilizado pela função de seleção automática dos quatro vértices da grade, apresentado na Figura 8, no bloco denominado *binariza com valores gaussianblurValue e cannyValue*



Fonte: Autoria própria

Figura 10 – Operação de convolução em imagens. Exemplo para uma máscara de convolução 3x3.



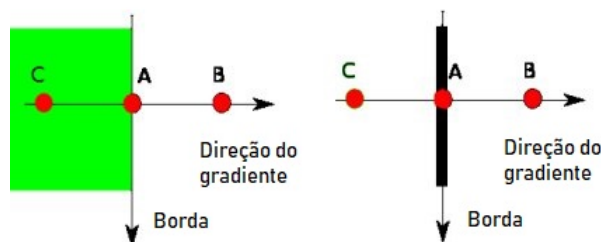
Fonte: Marques, Oge - "PRACTICAL IMAGE AND VIDEO PROCESSING UNSING MATLAB",
Figura 10.1

$$\theta = \arctan (G_y/G_x) \tag{5}$$

A direção do gradiente é sempre perpendicular às bordas, sendo arredondada para um valor representando direção vertical, horizontal ou duas diagonais.

- Um método de afinamento (supressão de não-máximos) é usado. Consiste em primeiro comparar a força da borda do pixel atual com a força do pixel nas direções de gradiente positivo e negativo. Caso a força do pixel atual seja a maior comparados com os outros pixels na máscara com a mesma direção, o valor é mantido. Caso contrário, ele é eliminado. Por exemplo, na Figura 11, o ponto A está na borda da direção vertical. O gradiente

Figura 11 – Afinamento do Canny

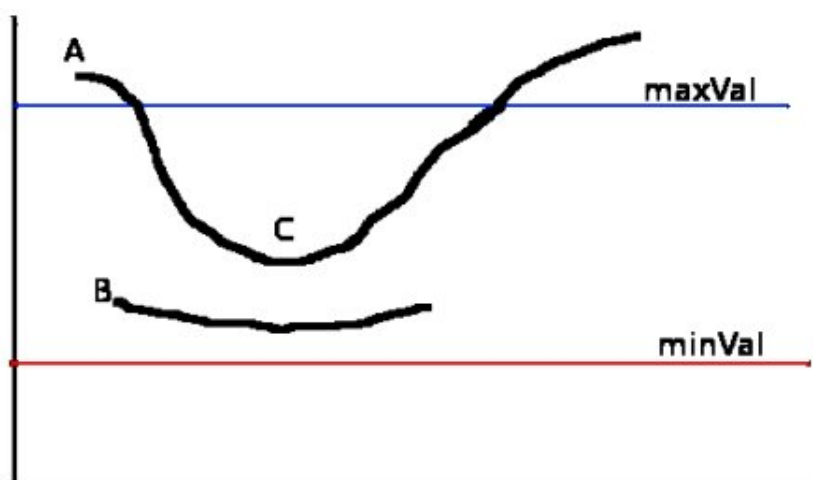


Fonte: Adaptado de <https://docs.opencv.org/3.1.0/da/d22/tutorial_py_canny.html>

de direção é normal à borda. Os pontos B e C são gradientes de direção. O ponto A é comparado com os pontos B e C para verificar se A representa um máximo local. Em caso positivo, ele é considerado para a próxima etapa, caso contrário, é eliminado.

4. Aplicação de limiar duplo e remoção dos contornos fracos por meio de histerese.

Figura 12 – Gráfico de histerese



Fonte: <https://docs.opencv.org/3.1.0/da/d22/tutorial_py_canny.html>

Conforme mostrado na Figura 12, escolhem-se dois valores de patamar, $maxVal$ e $minVal$. Quaisquer valores de contornos com gradiente maior que $maxVal$ são arbitrados como contornos e os menores que $minVal$ são automaticamente descartados. Aqueles que se encontram entre os patamares são considerados contornos ou não baseados na sua conectividade. Caso estejam conectados, são considerados partes dos contornos. Caso contrário, são descartados.

Esta saída do algoritmo de Canny (mostrada na figura 13) é então submetida a um processo denominado *border following* (SUZUKI, 1985) (função *findContours* do OpenCV).

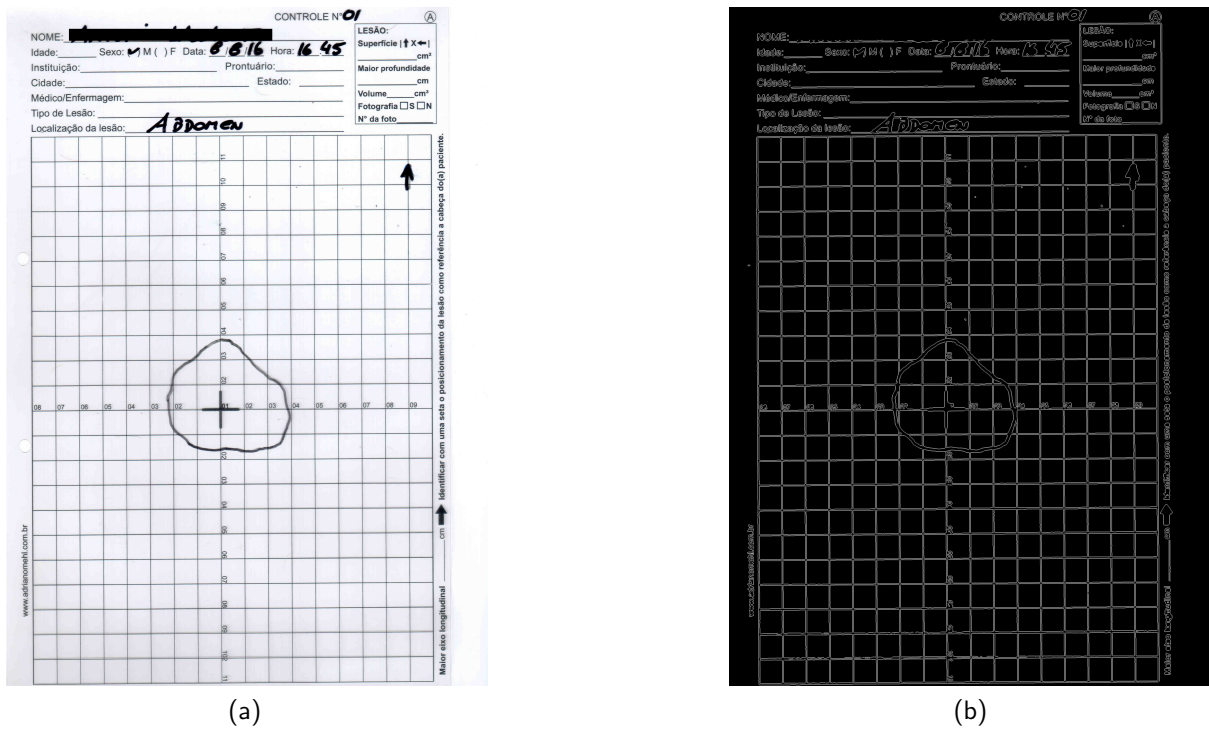


Figura 13 – Exemplo de resultado do algoritmo de detecção de bordas de Canny. À esquerda a imagem original e à direita a imagem com as bordas detectadas.

3.1.3 FUNÇÃO FINDCONTOURS DO OPENCV

No contexto do OpenCV, contornos são definidos como uma curva contendo todos os pontos de uma matriz com a mesma intensidade ou cor (o que justifica o processo definido em 3.1.2). A operação *findContours* toma uma matriz e retorna uma lista de vetores contendo os contornos encontrados na imagem por meio de um algoritmo denominado *border following*. Os contornos são ordenados de forma decrescente de quantidade de pixels. A figura 14 mostra os seis maiores contornos da imagem na Figura 13 em diferentes cores (OPENCV, 2014).

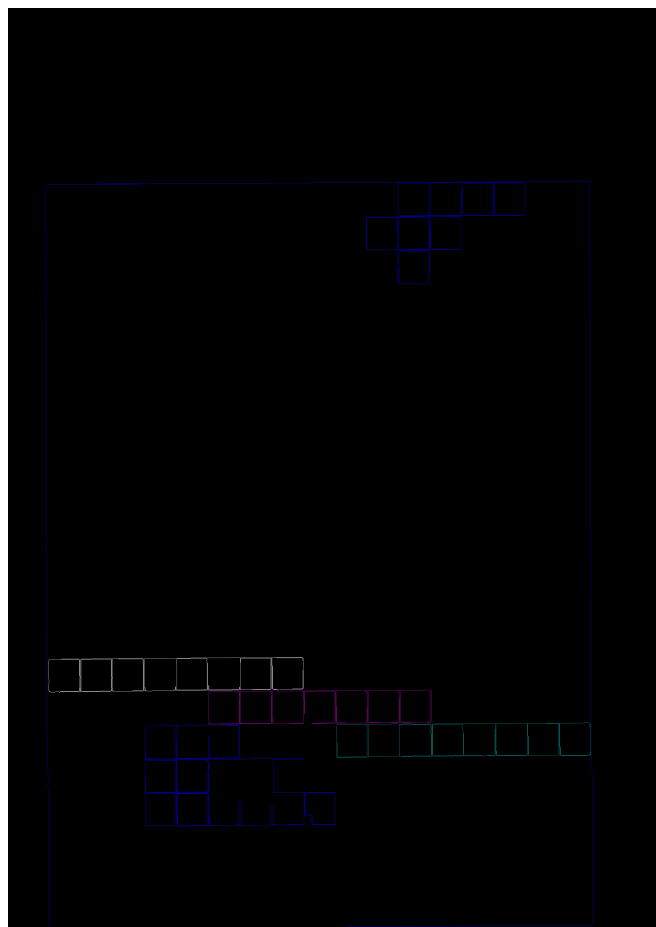
3.1.4 FUNÇÃO APPROXPOLYDP DO OPENCV

Esta função do OpenCV aproxima a curva poligonal fechada obtida anteriormente em um polígono com menos vértices, sendo a precisão desta conversão ajustável. A imagem da Figura 15 apresenta exemplos de saída da função *approxPolyDP*.

O processo de binarização (fluxograma da Figura 9) imagem é executado 12 vezes, utilizando quatro valores de limiar de *blur* gaussiano 3, 7, 11, 15, e três valores de histerese *canny detection* 100, 150, 300. Enquanto o processo de obtenção do maior contorno não for satisfatório o processo continua. O maior contorno é aquele que atende ao seguinte critério: o contorno envolve uma área maior que $1/20$ da área total. Na Figura 15 à direita é apresentada a detecção do retângulo principal da imagem.

Neste caso, o vetor contendo estes contornos encontrados é iterado de forma a tentar

Figura 14 – Exemplo de saída da função *findContours* do OpenCV para a imagem de entrada da Figura 13.



Fonte: Autoria própria

encontrar 4 pontos que representem os vértices do retângulo do centro da régua. Os 4 pontos com coordenadas mais extremas são os vértices do retângulo.

Caso contrário, os pontos retornados são os 4 extremos da imagem original, demonstrando que o processo falhou.

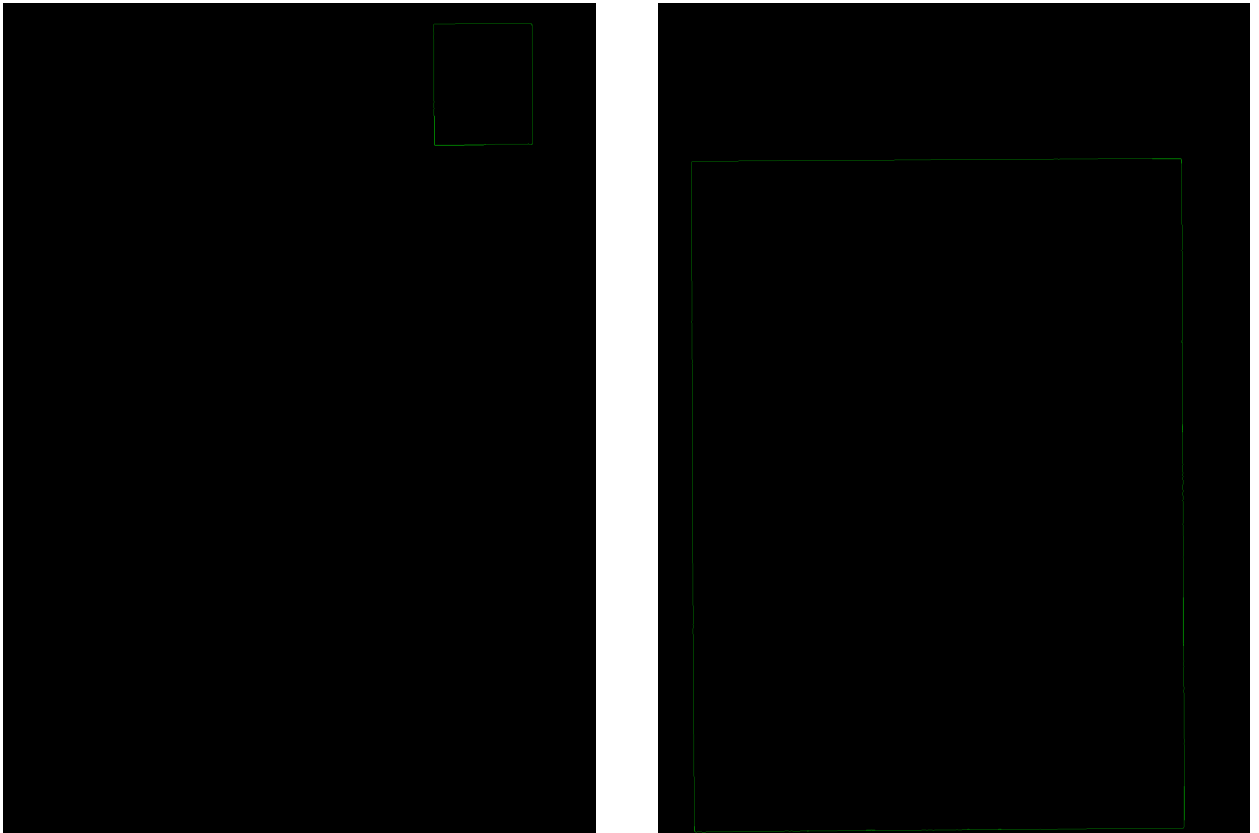
3.1.5 GETPERSPECTIVETRANSFORM E WARPPERSPECTIVE

Caso o processo anterior não tenha determinado as quatro extremidades da grade da régua de forma satisfatória, o usuário pode selecionar manualmente estas quatro posições.

A partir destes quatro pontos é necessário realizar o ajuste de perspectiva da grade da régua. Isto é realizado utilizando-se as funções *getPerspectiveTransform* e *warpPerspective* do OpenCV.

Estas funções não mudam o conteúdo da imagem, mas sim deformam a matriz de pixels de forma a remapeá-la para um plano paralelo ao do sensor de imagem. Para evitar problemas de amostragem, o mapeamento é realizado na ordem inversa, ou seja, do destino à origem. Para cada pixel (x,y) da imagem de destino, as funções computam o pixel original na

Figura 15 – Exemplo de resultado da função *approxPolyDP*. À esquerda um exemplo de falha na seleção do maior contorno. À direita, mostra-se um exemplo de sucesso ao detectar o maior contorno



Fonte: Autoria própria

imagem de entrada e copia-se o valor do pixel (equação 6) (OPENCV, 2014).

$$\text{dst}(x, y) = \text{src}(f_x(x, y), f_y(x, y)) \quad (6)$$

3.1.5.1 GETPERSPECTIVETRANSFORM

Feita a devida correção manual (caso necessária) na seleção das extremidades, obtêm-se uma matriz com a função *getPerspectiveTransform*, que cria a chamada transformada de perspectiva (vide equação 7) entre os quatro pontos selecionados e os quatro pontos da nova imagem a ser criada.

$$\begin{bmatrix} t_i x'_i \\ t_i y'_i \\ t_i \end{bmatrix} = \text{map_matrix} \cdot \begin{bmatrix} x_i \\ y_i \\ 1 \end{bmatrix} \quad (7)$$

onde a matriz de destino é a da equação 8.

$$\text{dst}(i) = (x'_i, y'_i), \text{src}(i) = (x_i, y_i), i = 0, 1, 2, 3 \quad (8)$$

3.1.5.2 WARPPERSPECTIVE

A matriz obtida na equação 8 é utilizada como parâmetro M da transformação geométrica *Warp Perspective* via *OpenCV*, que cria uma nova imagem com a perspectiva ajustada. Cada ponto $P(x,y)$ da matriz de resultado é descrito pela equação 9.

$$\text{dst}(x, y) = \text{src} \left(\frac{M_{11}x + M_{12}y + M_{13}}{M_{31}x + M_{32}y + M_{33}}, \frac{M_{21}x + M_{22}y + M_{23}}{M_{31}x + M_{32}y + M_{33}} \right) \quad (9)$$

3.2 BINARIZAÇÃO

Os pixels de uma imagem binária só apresentam dois estados, 0 e 1. Esta etapa transforma a imagem obtida após a seleção da grade da régua, até em então colorida, em uma imagem binária. Esta etapa é feita para separar o fundo da imagem (em branco na Figura 17) das linhas da grade e o contorno da ferida (em preto na Figura 17).

A decisão de transformar um pixel em preto ou branco é feita comparando a intensidade de cada pixel a um limiar, sendo intensidade a medida do quão claro é o pixel. Para obter a intensidade dos pixels de uma imagem colorida basta transformá-la em uma imagem em escala de cinza. Se a intensidade de um pixel for inferior ao limiar, o pixel resultante será de uma cor, se for superior será da outra. Um pixel de uma imagem colorida geralmente é representado por três valores numéricos, num sistema conhecido como RGB, um representando a intensidade em verde, G , outro em azul, B e outro em vermelho, R . A equação 10 demonstra como calcular o valor da intensidade do pixel, P . Na Figura 16 observa-se o resultado da transformação.

$$P(R,G,B) = 0,299R + 0,587G + 0,114B \quad (10)$$

Se um único limiar é utilizado para todos os pixels da imagem, variações na iluminação ao longo da imagem (sombras) podem gerar resultados não desejados, como pode ser observado na imagem da esquerda da Figura 17.

Para evitar os problemas causados por variações na iluminação ao longo da imagem, o algoritmo "*Adaptive Thresholding using the Integral Image*" (BRADLEY, 2007) é utilizado. Este algoritmo consiste em escolher um limiar particular para cada pixel da imagem e é computacionalmente eficiente. Neste método, a escolha do limiar para um determinado pixel é feita calculando o valor médio dos pixels em uma janela retangular em torno dele, podendo multiplicar este valor por um fator menor ou igual a um. Na imagem da direita da Figura 17 pode-se observar a eficácia do método.

A primeira etapa deste algoritmo é o cálculo da imagem integral a partir da imagem original, caso a imagem seja colorida é necessário transformá-la em uma imagem em escala de cinza. Representamos como $f(x,y)$ o valor armazenado em cada pixel da imagem em escala

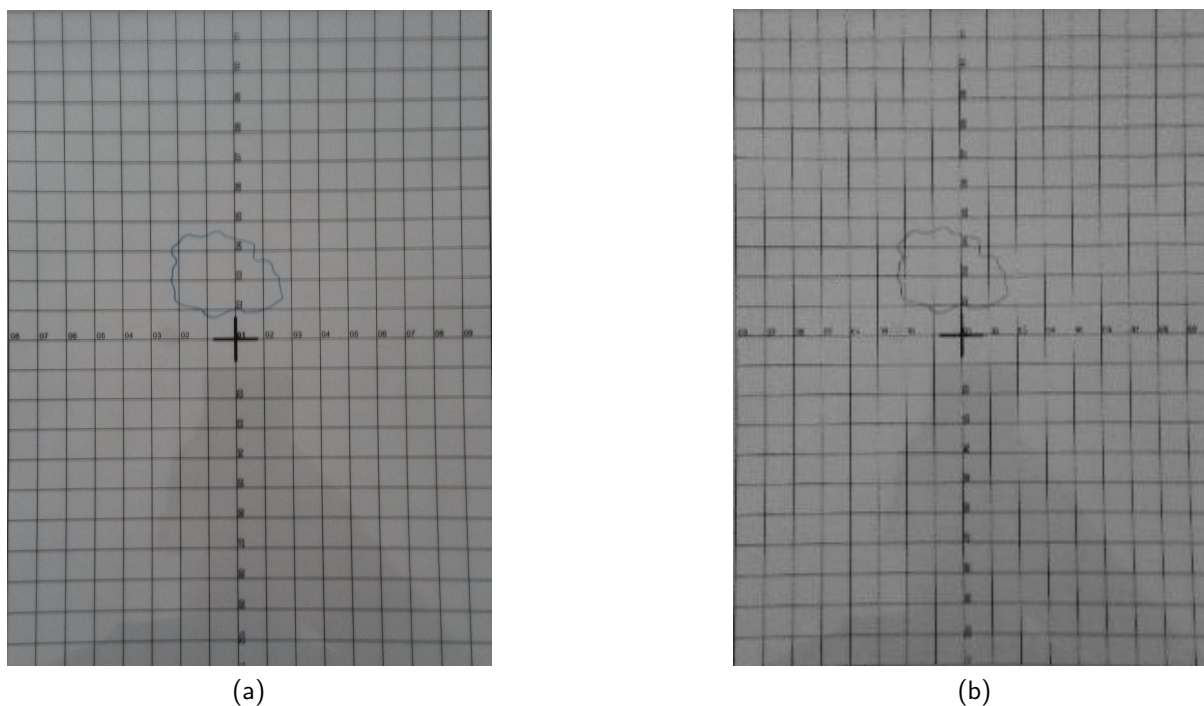
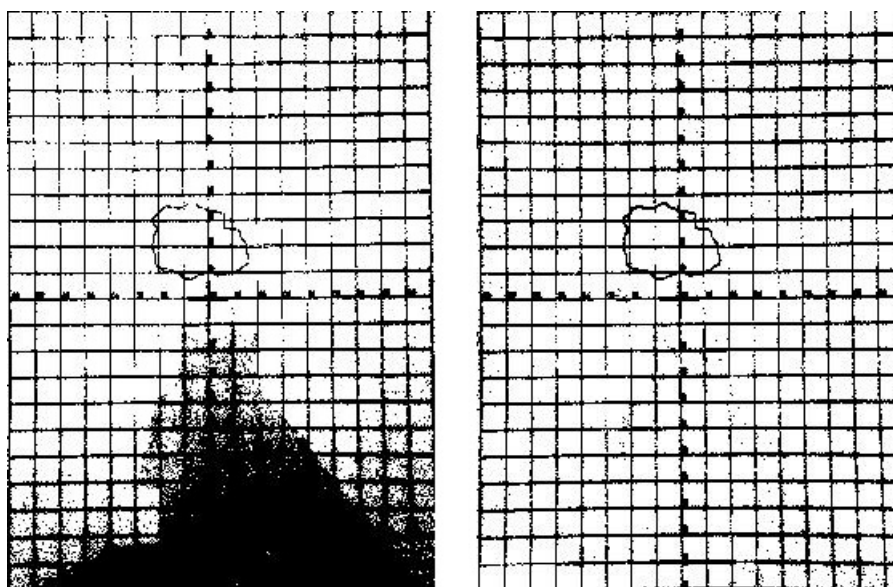


Figura 16 – Régua em cores e em tons de cinza.

Figura 17 – À esquerda, resultado da binarização usando um único limiar, à direita, resultado da binarização usando o método descrito por (BRADLEY, 2007)



Fonte: Autoria própria

de cinza. O valor armazenado em cada posição da imagem integral é a soma dos valores a esquerda e acima do correspondente na imagem em tons de cinza (vide equação 11).

$$I(x,y) = f(x,y) + I(x - 1,y) + I(x,y - 1) - I(x - 1,y - 1) \quad (11)$$

É possível calcular a soma dos valores de dentro de uma região retangular de uma

imagem utilizando os valores das extremidades correspondentes da imagem integral (vide equação 12). Desta forma um número fixo de operações pode ser utilizado para calcular o valor do limiar para um pixel independentemente de quantos pixels do entorno sejam considerados.

$$\sum_{x=x1}^{x2} \sum_{y=y1}^{y2} f(x,y) = I(x2,y2) + I(x1 - 1,y1 - 1) - I(x2,y1 - 1) - I(x1 - 1,y2) \quad (12)$$

A quantidade de pixels a serem considerados para o cálculo do limiar afeta o resultado da binarização.

3.3 SELEÇÃO DA REGIÃO DE INTERESSE

Esta etapa consiste em selecionar a região correspondente ao interior da ferida e retirar as linhas que cruzam a imagem. A seleção é manual (exibida na Figura 18) e todas as regiões brancas no interior do contorno da ferida devem ser selecionadas. Para que o usuário saiba quando ele selecionou todo o interior do contorno que representa a ferida, a região selecionada é “pintada”.

A pintura do interior é feita utilizando uma adaptação do algoritmo 1 denominado “Flood Fill”. A função deste algoritmo é selecionar uma área em uma imagem que tenha coloração similar. No caso da versão adaptada para este trabalho, ao selecionar um pixel branco, sua cor é alterada para preto e a função é aplicada nos pixels ao redor.

Algoritmo 1: FloodFill

```

Input: a posição do pixel branco de início  $x$   $y$ 
if pixel é preto then
  | return
end
FloodFill( $x + 1, y$ )
FloodFill( $x - 1, y$ )
FloodFill( $x, y + 1$ )
FloodFill( $x, y - 1$ )
return

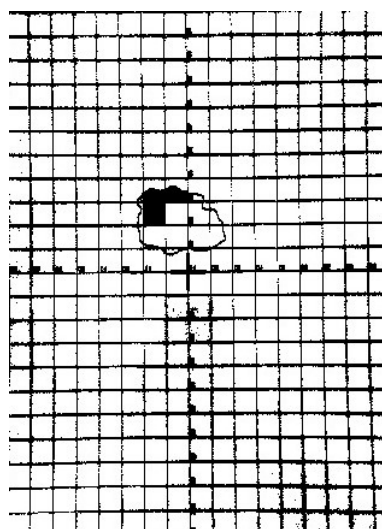
```

Em paralelo, uma cópia da da imagem obtida após a binarização passa por um processo chamado “afinamento”, onde todas os traços em uma imagem binária são afinados e passam a apresentar um pixel de “espessura”. Este processo preserva a estrutura da imagem original, como “buracos” e “ramificações”, o resultado é como o “esqueleto” da imagem (Figura 19).

O algoritmo de afinamento usado é o “Zhang-Suen Thinning Algorithm” (ZHANG, 1984), ele atua nos pixels pretos da imagem, que representaremos com valor 1, transformando-os em brancos, valor 0, se certas condições forem presentes. Tomemos por P_1 o pixel a ser analisado e os ao seu redor $P_2, P_3, P_4, P_5, P_6, P_7, P_8$ e P_9 na ordem especificada na Figura 20.

Antes dos critérios, duas funções devem ser definidas: $A(P_1)$ é o número de transições de 0 para um nos pixels em torno de P_1 seguindo a sequência $P_2, P_3, P_4, P_5, P_6, P_7, P_8, P_9$

Figura 18 – Seleção manual do interior da ferida.



Fonte: Autoria própria



Figura 19 – Imagem original e imagem afinada.

Fonte: Autoria própria

Figura 20 – Ordem dos pixels

P9	P2	P3
P8	P1	P4
P7	P6	P5

Fonte: <[https:](https://nayefreza.wordpress.com/2013/05/11/zhang-suen-thinning-algorithm-java-implementation/)

[//nayefreza.wordpress.com/2013/05/11/zhang-suen-thinning-algorithm-java-implementation/](https://nayefreza.wordpress.com/2013/05/11/zhang-suen-thinning-algorithm-java-implementation/)>

e P_2 , como na figura 20; $B(P_1)$ é a soma dos valores dos pixels ao redor de P_1 , ou seja, o número de pixels pretos ao redor.

O passo 1 é analisar todos os pixels pretos e verificar quais atendem as seguintes condições: $P_1 = 1$ e apresenta oito pixels vizinhos (não é um pixel da borda da imagem; $2 \leq B(P_1) \leq 6$; $A(P_1) = 1$; P_2 ou P_4 ou P_6 é branco; P_4 ou P_6 ou P_8 é branco. Após todos os pixels serem analisados os que atenderem as quatro condições deverão ser brancos.

No passo 2 todos os pixels são testados novamente, há uma mudança na terceira e quarta condição apenas: $P_1 = 1$ e apresenta oito pixels vizinhos (não é um pixel da borda da

imagem; $2 \leq B(P_1) \leq 6$; $A(P_1) = 1$; P_2 ou P_4 ou P_8 é branco; P_2 ou P_6 ou P_8 é branco. Após todos os pixels serem analisados os que atenderem as quatro condições deverão ser brancos.

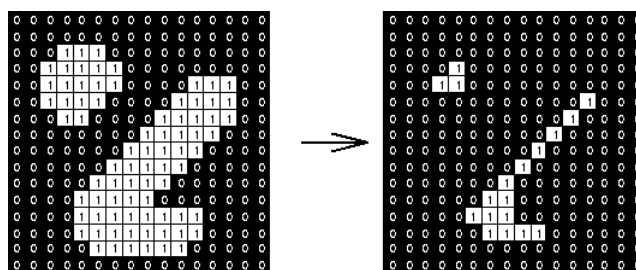
Enquanto pelo menos um pixel for transformado de preto para branco no passo 1 ou no 2, ambos passos devem ser refeitos.

A imagem na qual foi aplicado o afinamento agora tem aplicado o “*Flood Fill*” nas mesmas coordenadas selecionadas pelo usuário, resultando em uma imagem composta pela área da ferida com o interior da mesma cor e pelas linhas que cruzam a imagem apresentando apenas um pixel de espessura.

Como a medição da área requer contar os pixels pertencentes à delimitação da ferida, é necessário eliminar as linhas que estão cruzando a imagem. Existem uma série de operações básicas que podem ser feitas com imagens binárias conhecidas como operações morfológicas, nelas usa-se um elemento estruturante para comparar com a vizinhança de cada pixel da imagem e decidir se seu valor será mudado ou não se um elemento estruturante para comparar com a vizinhança de cada pixel da imagem e decidir se seu valor será mudado ou não. Dentre estas operações encontramos a “erosão” como possível solução para retirar as linhas que estão cruzando a imagem após de afinamento.

A erosão retira pixels das bordas dos elementos conectados (objetos de interesse). No caso da imagem binarizada da grade, o fundo é branco e os objetos de interesse pretos (vide figura 21). Essencialmente compara-se o um elemento estruturante (uma matriz como da figura 22) com o arredor do pixel analisado, se todos os elementos tiverem o mesmo valor, mantém-se o valor do pixel; caso o contrário, o pixel é transformado em um pixel branco. O resultado é que o interior dos objetos dentro da imagem são mantidos intactos e, as bordas, erodidas. Uma vez que as linhas que cruzam a imagem apresentam um pixel de espessura apenas, elas são todas retiradas pela erosão (figura 23). Quanto maior o elemento estruturante, mais pixels da borda serão retirados, como só precisa-se corroer as linhas e a área de interesse é interior ao contorno da ferida, um elemento estruturante de dimensões 3x3 é utilizado.

Figura 21 – Ação do erode



Fonte: <<https://homepages.inf.ed.ac.uk/rbf/HIPR2/erode.htm>>

O resultado é uma imagem que contém apenas o contorno da ferida preenchido, sem as linhas que antes cruzavam a imagem.

Figura 22 – Elemento estrutural 3x3

1	1	1
1	1	1
1	1	1

Set of coordinate points =
 { (-1, -1), (0, -1), (1, -1),
 (-1, 0), (0, 0), (1, 0),
 (-1, 1), (0, 1), (1, 1) }

Fonte: <<https://homepages.inf.ed.ac.uk/rbf/HIPR2/erode.htm>>

Figura 23 – Linhas que cruzam a imagem afinadas e resultado após erosão



Fonte: Autoria Própria

3.4 CÁLCULO DA ÁREA

Como a área da região limitada pelo retângulo selecionado na primeira etapa (grade da régua) tem área conhecida, a área da ferida é obtida multiplicando a proporção entre número de pixels da região da ferida e da imagem total, pela área que esta imagem representa. A grade tem dimensões $17\text{ cm} \times 22\text{ cm}$, área de 374 cm^2 , sendo A a área em cm^2 da região que representa a ferida, P o número total de pixels da imagem e p o número de pixels que preenchem a região correspondente a ferida, tem-se a relação da equação 13:

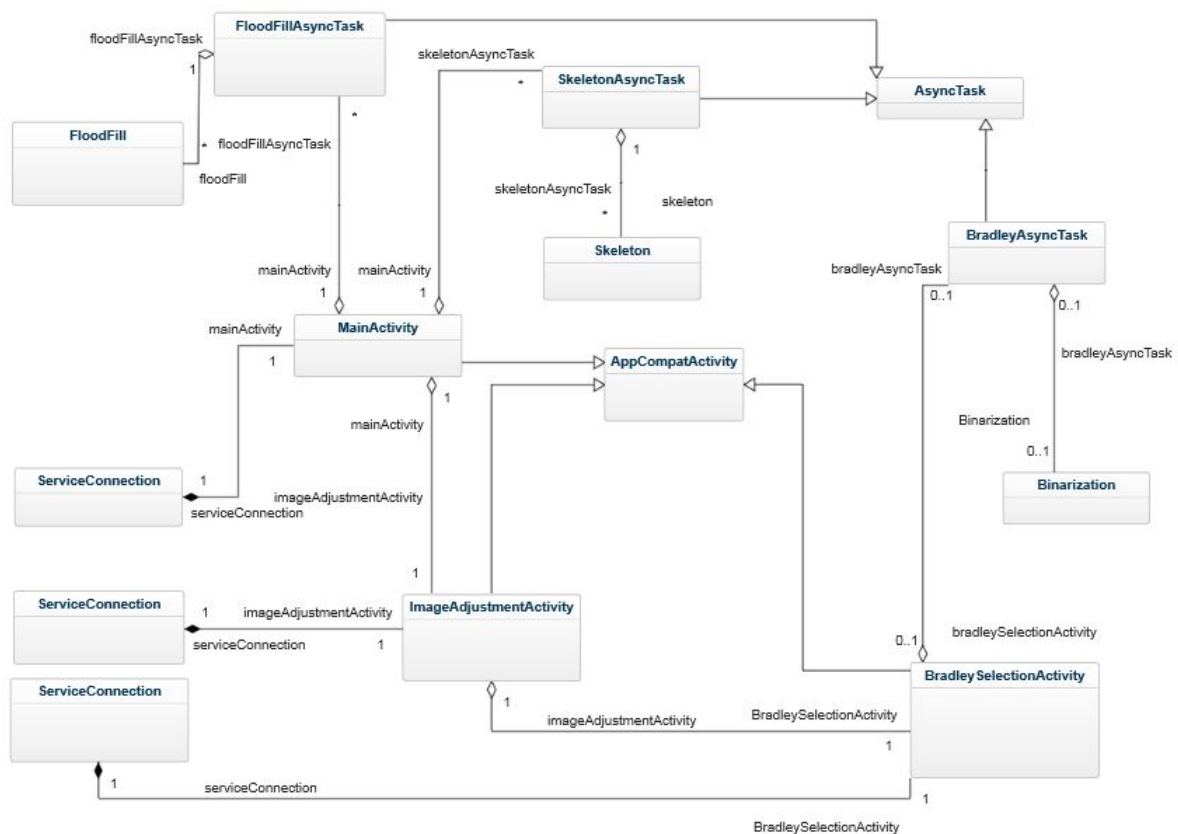
$$A = 374 \frac{p}{P} \quad (13)$$

4 APLICATIVO ANDROID

Para se obter um aplicativo *Android* que cumprisse os requisitos de projeto planejados, primeiramente o algoritmo de processamento de imagem foi testado em ambiente de prototipagem. Uma vez que este código inicial foi concebido e testado, pensou-se numa modelagem adequada do algoritmo em código voltado para *Android*. Desta forma, foi então criado um código intermediário para *desktop* que permitisse *debug* rápido e, ao mesmo tempo, oferecesse uma transição escalável para o desenvolvimento móvel, além do suporte a características como processamento paralelo (*threads*) e orientação a objeto.

Foi escolhida a linguagem de programação Java, que é facilmente portátil para o sistema operacional *Android* e permite os testes iniciais com a biblioteca OpenCV no *desktop*. A Figura 24 um diagrama UML das classes do aplicativo Android desenvolvido.

Figura 24 – Diagrama UML do aplicativo desenvolvido.



Fonte: Autoria própria

4.1 OPENCV 4.0

O OpenCV é uma biblioteca criada originalmente em C e C++, voltada para visão computacional, disponível para diversas plataformas, como Windows, Linux e Android.

Para a implementação da GUI no *desktop*, foi empregada o *toolkit Swing*.

A versão utilizada no aplicativo é a OpenCV 4.1.0¹, liberada ao público em abril de 2019. A desenvolvedora original do OpenCV foi a Intel como parte de uma iniciativa para viabilizar aplicações de *ray tracing*² e telas 3D. Os objetivos gerais do projeto OpenCV são promover a visão computacional multiplataforma com código otimizado ao criar uma infraestrutura comum que pode ser utilizada e reescrita por programadores de diversos contextos Bradski (2008).

4.2 GERENCIAMENTO E EXIBIÇÃO DE IMAGENS

O sistema operacional Android traz desafios relacionados ao carregamento de imagens (*bitmaps*) por conta dos seguintes problemas:

- *Bitmaps* são descompactados na memória do dispositivo, de forma que uma imagem oriunda da câmera de alta resolução (16 Megapixels no caso do dispositivo usado nos testes, um Asus Zenfone 3) com 4 bytes de profundidade ocupa 64 Mb, restringindo drasticamente a memória para outros processos.
- Carregar imagens na *thread* de UI degrada severamente a *performance* do *app* e obriga a criação de *threads* especiais para lidar com os *bitmaps*.
- Caso o aplicativo carregue simultaneamente diversas imagens, como é o caso deste aplicativo, é necessário desenvolver um método eficiente de carga e descarga de imagens de e para o disco.

A primeira solução adotada foi utilizar a biblioteca *open-source Subsampling Scale Image View*³, que é uma *view* customizada projetada para exibir imagens de alta resolução, como exemplificado na Figura 25 (o autor da biblioteca testou o carregamento de imagens de até 20000 pixels x 20000 pixels). Ela funciona de forma que uma imagem inicial de baixa resolução é carregada e quando se dá zoom, por movimento de pinça, a *view* recupera imagens menores de maior resolução.

4.3 PERSISTÊNCIA DE DADOS E COMUNICAÇÃO ENTRE ATIVIDADES

Os dados são salvos num serviço chamado *AppService*, ilustrado na Figura 26. A opção de se usar um serviço nativo do *Android* foi pelo fato de ele evitar a escrita e leitura desnecessárias dos dados da memória do dispositivo. A abordagem tradicional dos *intents*⁴

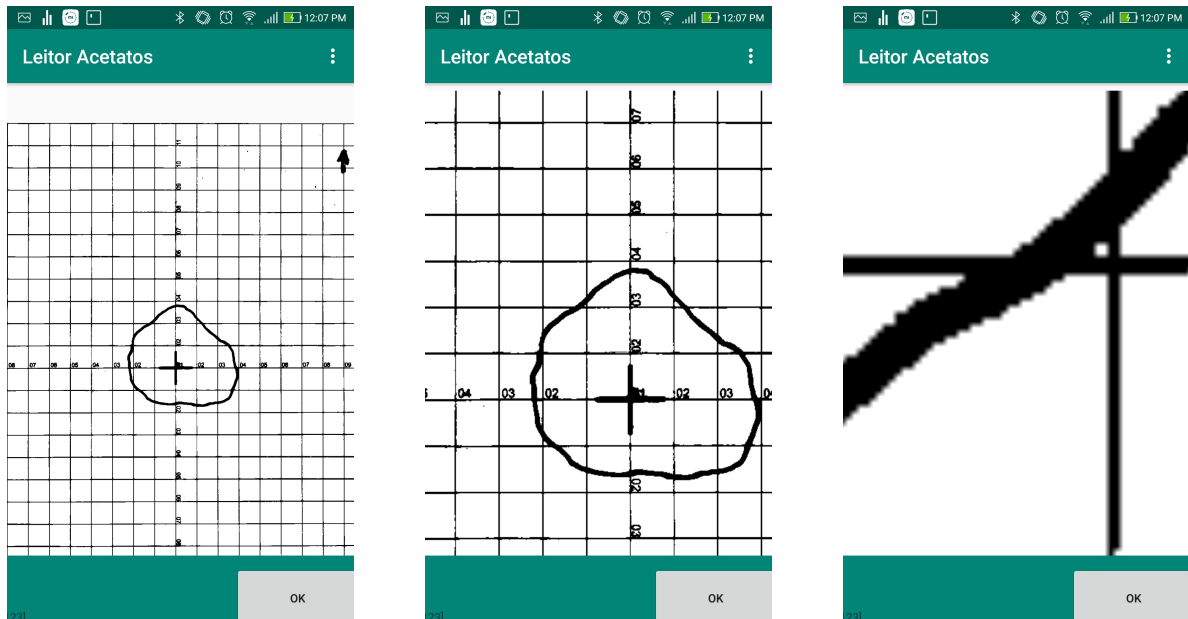
¹ <<https://docs.opencv.org/4.1.0/d1/dfb/intro.html>>

² *Ray tracing* é uma técnica utilizada para criação de imagens tridimensionais baseada na simulação do percurso que raios de luz teriam no mundo real.

³ <<https://github.com/davemorrissey/subsampling-scale-image-view>>

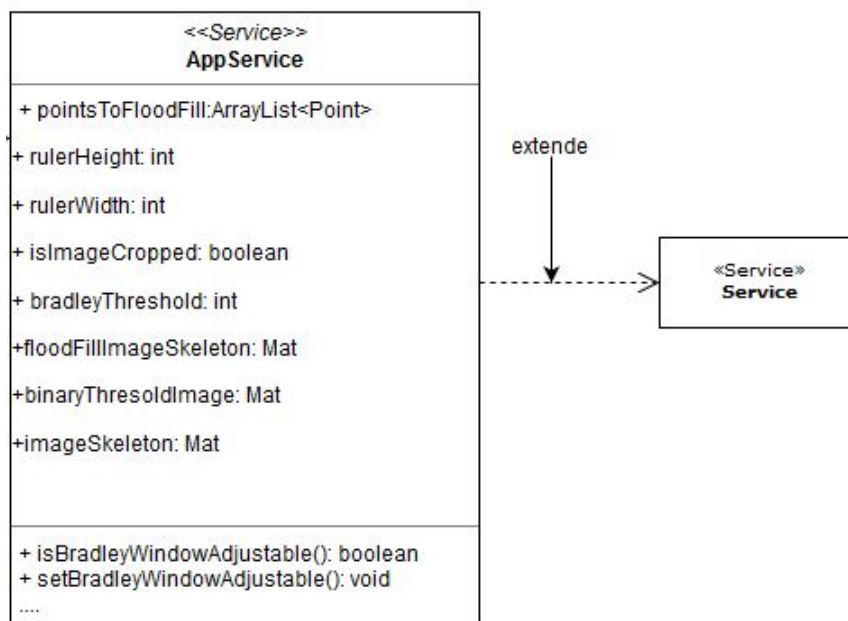
⁴ *Intents* são a forma padrão de comunicação entre atividades no sistema operacional *Android*

Figura 25 – Exemplo de zoom usando uma view customizada da biblioteca Subsampling Scale Image. View



não era totalmente satisfatória por conta da grande quantidade de dados e do seu tamanho. Tampouco o padrão de *software Singleton*, nativo do desenvolvimento do *Android*, era viável, por conta dos possíveis vazamentos de memória.

Figura 26 – Diagrama UML do AppService para persistência dos dados e comunicação entre as atividades.



Fonte: Autoria própria

4.4 TELA PRINCIPAL

Na tela principal (Figura 27) o usuário interage com um menu onde escolhe a origem da imagem a ser analisada.

Figura 27 – Tela principal mostrando a aparência do aplicativo após a sua inicialização.



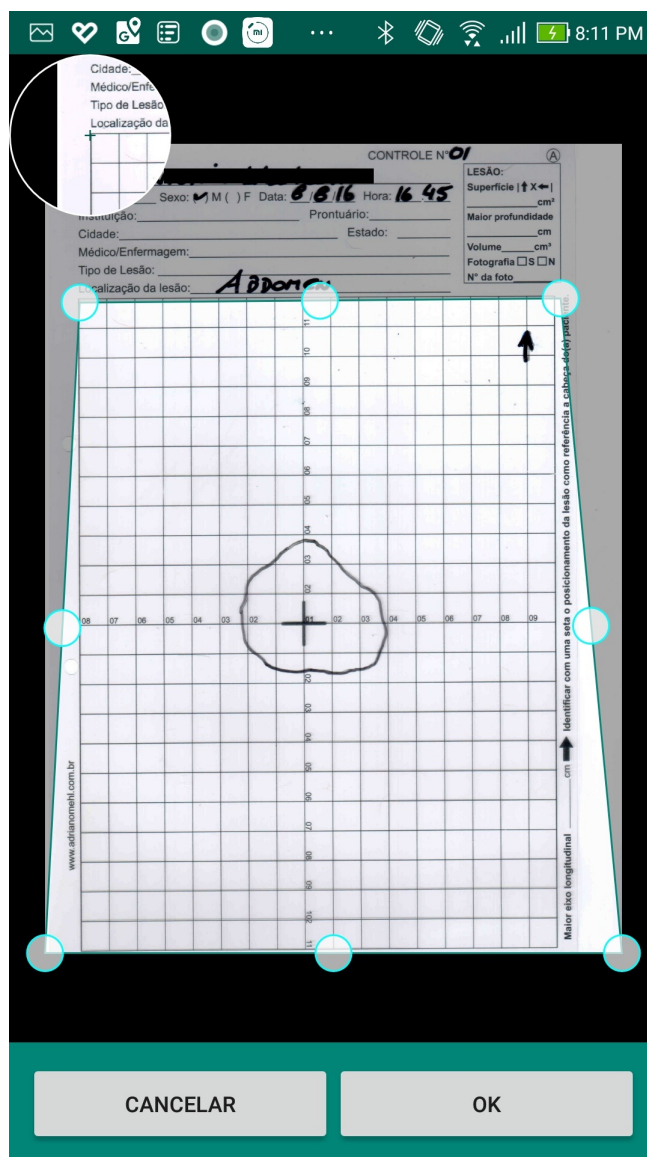
Fonte: Autoria própria

4.5 CLASSE IMAGEADJUSTMENTACTIVITY

É a atividade onde acontece a delimitação das bordas a imagem a ser planificada. Nela, o usuário interage com uma *CropImageView*, objeto da biblioteca SmartCropper que estende a *view* padrão do Android.

A biblioteca executa uma pré-seleção dos quatro pontos que delimitam a régua central do usuário. Pode-se a partir desta pré-seleção fazer alguns ajustes de posicionamento, como mostrado na Figura 28. O usuário tem acesso a uma lupa de ajuste onde pode ter visão melhorada da extremidade que está selecionando.

Figura 28 – Tela de delimitação das quatro extremidades da grade da régua.



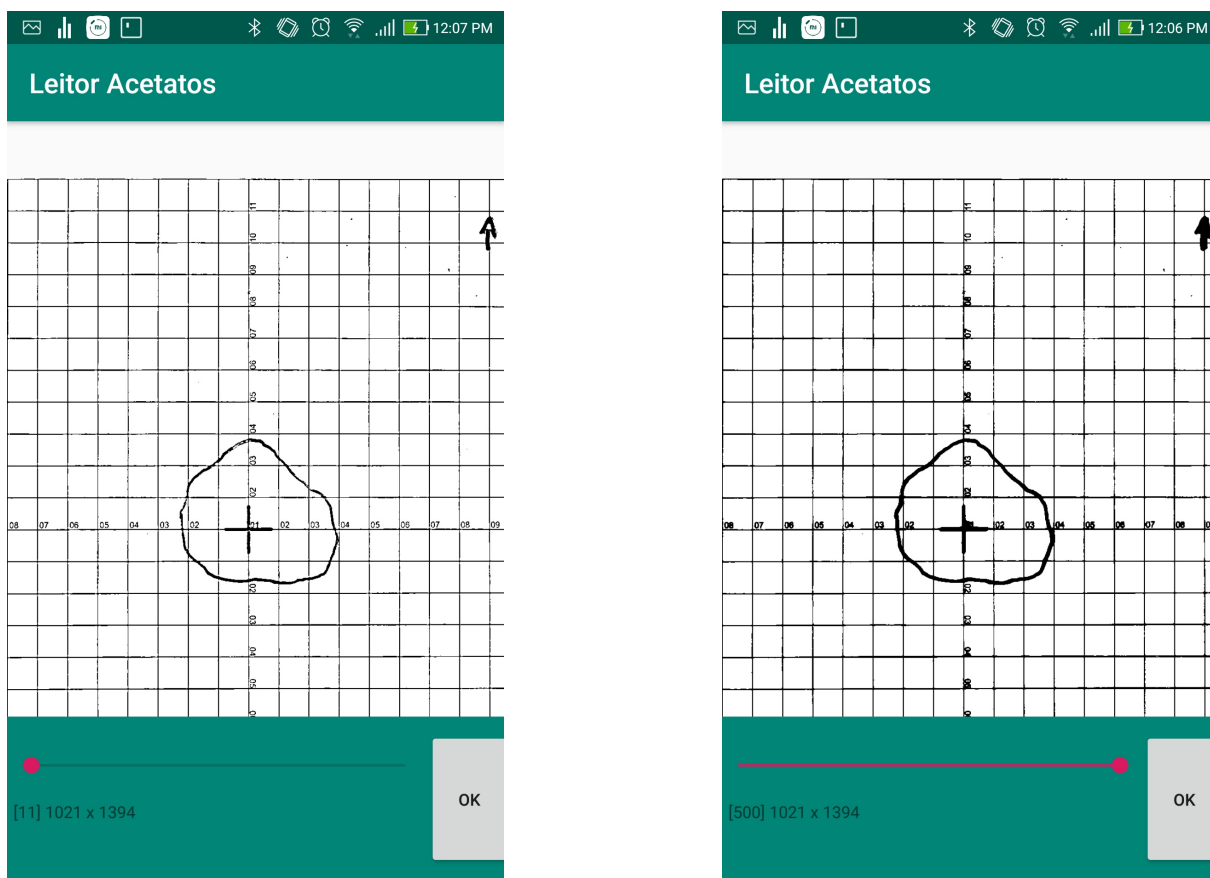
Fonte: Autoria própria

4.6 CLASSE BINARIZATION

Esta classe é responsável pela binarização da imagem escolhida. Pelo fato de a biblioteca OpenCV ter sido originalmente feita em C++, determinadas operações do código portado em Java podem ser lentas. Assim optou-se por usar a biblioteca de PDI *Catalano Framework*, desenvolvido por Diego Catalano⁵, disponível para *desktop* e *Android*, desenvolvida nativamente em Java. A binarização utiliza a função *BradleyLocalThreshold*, que tem como parâmetro a janela de binarização. Esta janela pode ser ajustada pelo usuário (Figura 29), o que requer que o processo de binarização seja refeito cada vez que o usuário utilize um componente da interface (*seekBar*).

⁵ <<http://catalano-framework.com/>>

Figura 29 – Tela de seleção de limiar (*threshold*) da operação de Bradley Local Threshold. Ao interagir com a barra da parte inferior, o usuário pode ajustar o nível de binarização, fazendo com que se evite a escolha de imagens com contornos não contínuos.



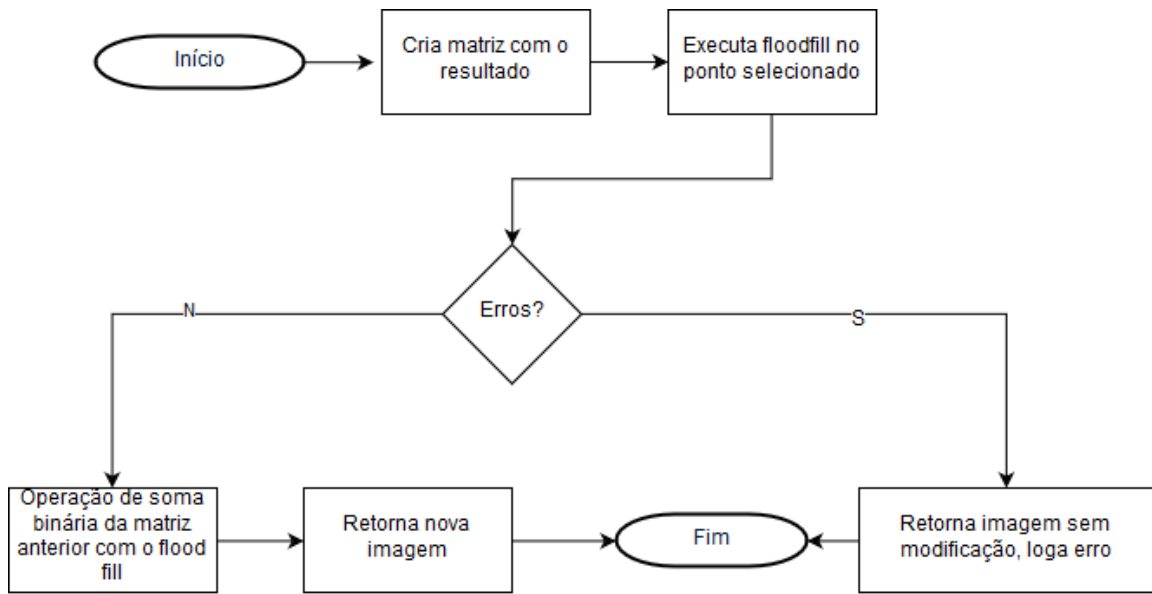
Como o processo é potencialmente pesado, a classe *Binarization* é chamada por uma *AsyncTask*, ou seja, uma tarefa assíncrona independente da *UI Thread*.

4.7 CLASSE *FLOODFILL*

Esta classe tem em sua construtora dois parâmetros, a imagem original com a matriz a ser preenchida e uma coordenada, que funciona como *seed*. A classe executa a operação chamada do OpenCV de *FloodFill*, constante na classe *ImgProc* na sua versão em Java, que preenche um componente conexo com determinada cor (no caso com pixels pretos), como mostrado no fluxograma de Figura 30.

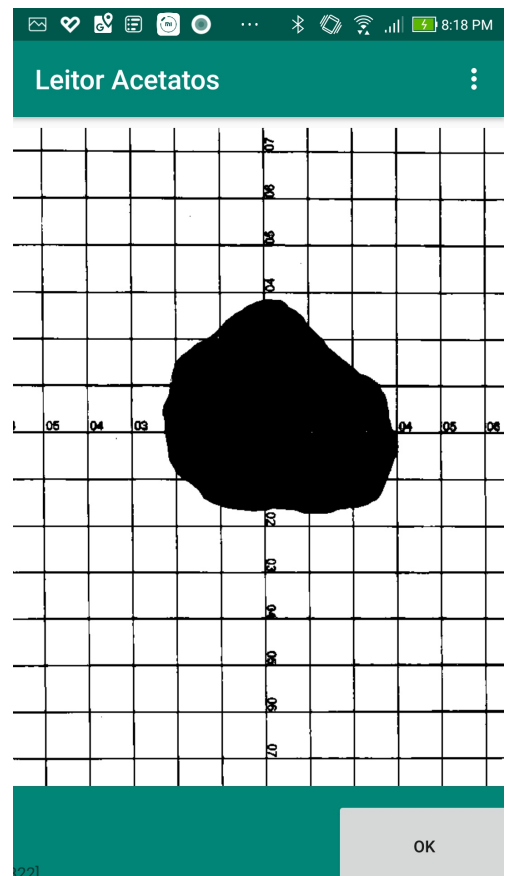
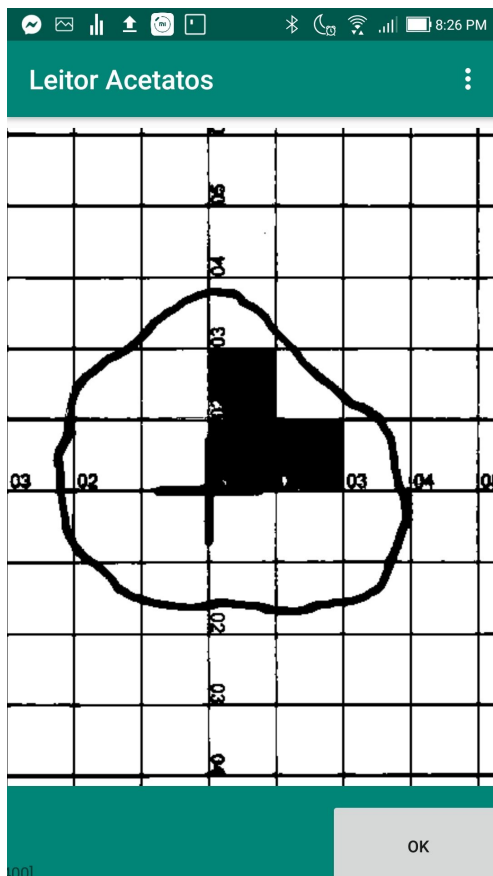
A cada toque do usuário no interior da ferida ocorre uma operação assíncrona de *FloodFill*, que uma vez finalizada retorna uma imagem na tela principal. Paralelamente são registrados os pontos em que ocorreu o *FloodFill*. Um exemplo de imagem após o *FloodFill* acontecer é a Figura 31.

Figura 30 – Fluxograma da classe Flood Fill.



Fonte: Autoria própria

Figura 31 – Operação de Flood Fill completada após os toques necessários do usuário



4.8 CLASSE SKELETON

Esta classe é responsável pela esqueletização. Nativamente, o OpenCV não possui implementação de operações de afinamento⁶. Desta forma, buscou-se uma alternativa que oferecesse um processamento rápido, de forma que optou-se pelo algoritmo de Zheng-Suen Zhang (1984). Vide Anexo A para a implementação do código em Java.

Uma vez que o processo de esqueletização estiver pronto, o usuário poderá finalizar o processo de FloodFill ao clicar no botão de OK (Figura 31). A imagem que foi esqueletizada sofrerá processo de FloodFill em todos os pontos que o usuário selecionou previamente. O usuário poderá visualizar a área total da imagem, assim como seu valor (Figura 32).

Figura 32 – Tela final exibindo o valor da área obtida da ferida.



Fonte: A autoria própria

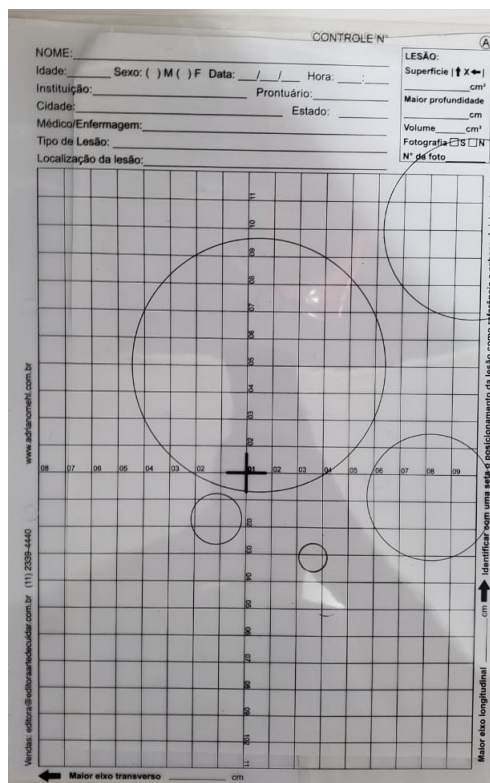
⁶ Há uma implementação de uma biblioteca que estende as funcionalidades do OpenCV chamada ximgproc. No entanto, ela apresentou incompatibilidade com o Android.

5 ANÁLISE E DISCUSSÃO DOS RESULTADOS

Para estimar a qualidade das medições feitas pelo aplicativo em feridas, foram utilizadas cinco circunferências impressas em folha sulfite A4, de raios 0,5, 1, 2,5 e 3,5 cm, para comparar os resultados obtidos com a área calculada. A régua foi colocada sobre a folha com as circunferências impressas e fotos foram tiradas buscando as seguintes condições: i) manter celular o mais paralelo possível ao plano no qual a folha estava apoiada e ii) a grade de 1cm x 1cm ocupando a maior parte da imagem possível. Todas as fotos foram tiradas em cômodos diferentes. Não foram tiradas fotos com reflexos fortes sobre as linhas das circunferências, pois a medição só é possível se o desenho do contorno da área a ser medida não apresentar falhas. A posição da régua em relação às circunferências também foi mudada a cada foto. A Figura 33 é um exemplo de amostra.

É importante observar que testes foram feitos com contornos conhecidos desenhados na própria régua, e os resultados são similares àqueles obtidos desenhando-se o contorno em uma folha sulfite A4 e colocando-se a régua sobre a folha. Em outras palavras, o contorno estar desenhado diretamente na régua ou em uma folha sulfite abaixo da régua não afeta os resultados.

Figura 33 – Exemplo de amostra seguindo as condições citadas.



Fonte: Autoria própria

No total 100 medições foram feitas, 20 para cada uma dos 5 circunferências. Destas

20, metade das medições usou fotos armazenadas no dispositivo celular e a outra metade fazendo a aquisição da imagem diretamente pelo aplicativo. As fotos correspondentes a essas 100 medições foram feitas utilizando a câmera de um Samsung Galaxy S9, as imagens tinham resolução de 4032x1960 pixels, com tamanho em torno de 2 MB. Segue na Tabela 1 a média do erro relativo e o coeficiente de variação para as medidas de cada uma das circunferências:

Tabela 1 – Resultado dos testes com circunferências de raio conhecido e erros de outros aplicativos.

Área da circunferência em cm^2	0,79	3,14	19,63	38,48	78,54
Erro relativo médio deste trabalho	3,4%	0,8%	1,0%	1,0%	1,5%
Coeficiente de Variação	0,9%	0,9%	1,2%	1,0%	0,8%
Erro relativo do Visitrak	6,9%	2,4%	3,6%	3,6%	3,6%
Erro relativo do AreaMe	3,9%	1,2%	0,43%	0,43%	0,43%
Erro relativo do SilhoutteMobile	7,8%	0,9%	0,45%	0,45%	0,45%

Fonte: Autoria própria

O erro relativo é obtido a partir da equação 14, onde E_R é o erro relativo, M_O a medida obtida e M_E a medida esperada. Os valores expostos na tabela são as médias dos erros relativos.

$$E_R = \left| \frac{M_E - M_O}{M_E} \right| \quad (14)$$

O coeficiente de variação é a razão entre o desvio padrão e a média das medidas das amostras, o baixo valor obtido indica pouca variação nos valores obtidos durante as medições.

As medidas da circunferência menor apresentaram um erro relativo médio superior às outras. O mesmo observa-se em outras aplicações para medição de área de feridas (FOLTYNSKI PIOTR LADZYNSKI, 2014). Os métodos comparados no artigo citado apresentam desempenho similar ao método utilizado neste trabalho. A Tabela 1 apresenta os erros relativos médios obtidos neste trabalho e também os relatados em (FOLTYNSKI PIOTR LADZYNSKI, 2014).

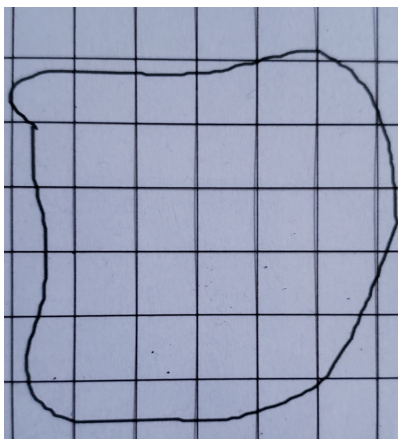
Para verificar se os contornos irregulares afetariam a precisão foram geradas, com o *software* Geogebra¹ (para que a área seja conhecida), cinco figuras de área conhecida e de formato similar às encontradas nas imagens fornecidas pelo médico Adriano Antônio Mehl (exemplo na Figura 34). Os resultados expressos na tabela 2 mostram que a precisão não é afetada.

Outras cinco medições foram realizadas com o mesmo celular já citado, porém não respeitando as condições que favorecem a qualidade da medição. As fotos foram tiradas da seguinte forma: a régua foi apoiada sobre bancadas com altura próxima da cintura e o usuário não se preocupou em tirar as fotos com a câmera paralela à régua. A Figura 35 é um exemplo destas amostras. A circunferência usada para as medidas foi a de 19,63 cm^2 apenas.

Nota-se nos resultados deste teste, apresentados na Tabela 3, que os erros relativos encontrados com fotografias retiradas sem respeitar as condições que favorecem a qualidade da

¹ <<https://www.geogebra.org/?lang=en>>

Figura 34 – Exemplo de amostra simulando o formato de uma ferida.



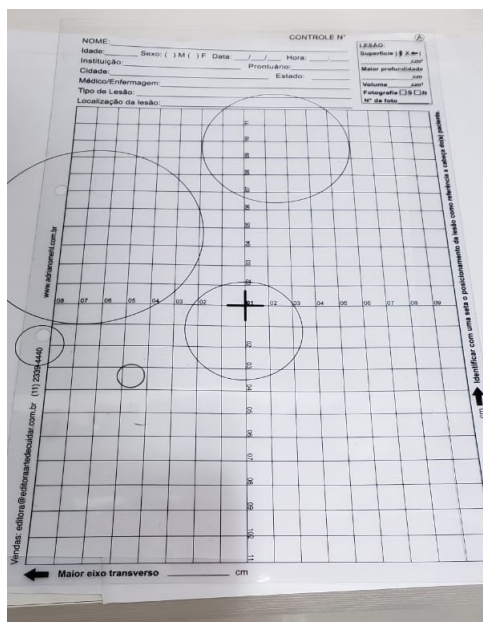
Fonte: Autoria própria

Tabela 2 – Resultado dos testes com figuras que simulam feridas.

Área esperada	12,34	16,11	18,95	23,96	32,29
Área medida	12,19	15,91	18,81	23,64	31,93
Erro Relativo	1,2%	1,2%	0,7%	1,3%	1,1%

Fonte: Autoria própria

Figura 35 – Exemplo de amostra seguindo as condições citadas



Fonte: Autoria própria

medição apresentam erros relativos pouco superiores à média dos testes seguindo os critérios que favorecem a qualidade da medida.

Mais cinco medidas foram realizadas, utilizando a circunferência de área $19,63 \text{ cm}^2$

Tabela 3 – Resultado dos testes sem favorecer a qualidade da medição

Medida	1	2	3	4	5
Erro Relativo	2,7%	1,2%	1,8%	4,9%	2,4%

Fonte: Autoria própria

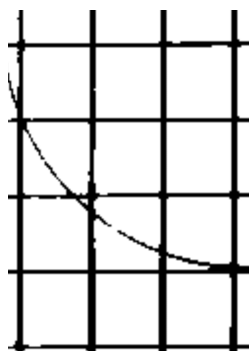
e seguindo os critérios que favorecem a qualidade da medição, porém utilizando um celular com câmera de resolução inferior à do celular usado anteriormente. As imagens foram então enviadas por aplicativo para outro *smartphone*, o que diminuiu a resolução das imagens para 1280x720 pixels ficando com tamanho médio de 100 kB. Estas imagens (exemplo na Figura 36) podem apresentar problemas na medição da área, pois o processo de binarização pode resultar em descontinuidades no contorno da ferida, como pode ser observado na Figura 37. Isso afeta a seleção da ferida pois o preenchimento “vaza” para fora do contorno da região de interesse, como pode ser observado na Figura 38. Não foram feitos testes para descobrir a mínima resolução aceitável para o correto funcionamento do algoritmo.

Figura 36 – Amostra de má qualidade antes da binarização.



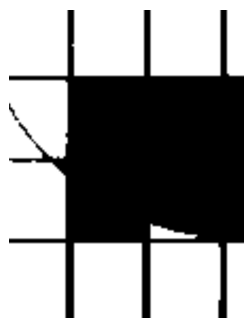
Fonte: Autoria própria

Figura 37 – Amostra de má qualidade.



Fonte: Autoria própria

Figura 38 – Problema decorrente do contorno com falha.



Fonte: Autoria própria

Considerando as cinco imagens mencionadas neste teste, três apresentaram descontínuidades nos contornos. Os erros relativos encontrados para as duas que permitiram medidas foram similares aos encontrados nas medidas dos testes anteriores: 3,6% e 2,1%. Isso indica que a resolução afeta muito mais na possibilidade de fazer a medição do que no erro obtido. Durante os testes foi observado que a experiência do usuário é prejudicada conforme maior é a área a ser medida, isso porque uma área de $n \text{ cm}^2$ requer no mínimo n toques no seu interior para ser medida. Assim, o tempo necessário para executar a medição aumenta conforme a área a ser medida aumenta. Uma possível forma de amenizar este problema seria implementar um modo de pintura manual para selecionar a maior parte da ferida, utilizando o dedo como “pincel”, e usar a pintura por toque próximo das bordas apenas.

6 CONCLUSÕES

Este trabalho foi embasado na necessidade médica de acompanhar o desenvolvimento de lesões cutâneas em diabéticos de forma a conduzir, da melhor forma possível, seu tratamento. Por estas lesões serem uma causa comum de amputação em portadores dessa doença, devido à baixa sensibilidade nas extremidades dos mesmos bem como sua cicatrização demorada, é importante que o plano de tratamento seja mudado para um mais eficaz caso o paciente não esteja respondendo ao mesmo, sendo a checagem do aumento ou diminuição da área da lesão a forma mais utilizada para verificar a resposta do paciente.

A equipe entrou em contato com o médico Dr. Adriano Mehl e notou que, para medir com precisão a área das feridas, o método utilizado por ele é demasiadamente demorado, e o modo alternativo e mais rápido para realizar esse processo de medição é pouco preciso. Dado isso, a equipe se propôs a criar uma solução para *smartphone* que tornaria o processo de obter uma medida precisa da área da ferida extremamente mais rápido. O instrumento utilizado pelo Dr. Adriano é uma régua, um acetato transparente com uma grade centi-metrada de medidas $17\text{cm} \times 22\text{cm}$ o qual é utilizado para demarcar à caneta o contorno da ferida dos seus pacientes.

A solução idealizada, portanto, foi a criação de um aplicativo que, por meio de uma foto tirada dessa régua com o contorno da ferida já desenhado, pudesse disponibilizar rapidamente para o profissional da saúde a área da lesão.

A solução exige que o usuário apoie a régua sobre uma superfície plana e clara para tirar a foto e selecione manualmente na imagem adquirida as delimitações da régua e o interior da região demarcada pelo contorno da ferida. A aplicação é bem robusta contra sombras na imagem, mas é necessário evitar reflexos na régua.

A precisão alcançada em medições feitas com fotos de uma câmera de alta qualidade tiradas de acordo com as recomendações citadas no capítulo 5 (Análise e Discussão dos Resultados) foi considerada extremamente satisfatória. O tempo levado para executar as medições aumenta conforme aumenta a área a ser medida. Contudo, ainda é mais rápido que o método de boa precisão utilizado pelo Dr. Adriano Mehl, baseado no *software* Digimizer, de forma que esse quesito também foi considerado satisfatório.

A solução apresentada neste trabalho também pode medir áreas delimitadas por contornos em outras folhas que não a régua usada nesse trabalho. Isso porque o cálculo da área é baseado na área total da folha, a qual é selecionada manualmente. Como é possível esse ajuste manual no aplicativo dessa área total, pode-se calcular áreas em qualquer folha desde que sua área seja conhecida.

Finalmente, pode-se afirmar que a ferramenta desenvolvida, implementada e testada neste trabalho é capaz de auxiliar no trabalho diário do profissional da saúde que opte por usar a régua, trazendo o benefício de uma medida precisa que pode ser obtida rapidamente com

dispositivos comuns.

6.1 TRABALHOS FUTUROS

Para tornar mais rápida e prática a seleção do interior de feridas de áreas grandes, pode-se desenvolver um método de preenchimento no qual o usuário arrastaria o dedo no interior da ferida ao invés de dar um toque por quadrado dentro da área delimitada.

Trabalhos futuros também podem ser realizados no sentido de deixar automática a seleção da área. Uma sugestão seria permitir que o usuário tocasse apenas uma vez no interior de cada contorno de ferida desenhado na régua, ao invés de requisitar vários toques como no método proposto.

Outra melhoria seria o desenvolvimento independente de uma biblioteca similar à SmartCropper, que encontra-se atualmente com documentação limitada, poucas opções de manipular a API e em processo de depreciação.

Referências

- BRADLEY, G. R. D. Adaptive thresholding using the integral image. p. 13–21, 2007. Citado 3 vezes nas páginas 8, 34 e 35.
- BRADSKI, A. K. G. **Learning OpenCV**: Computer vision with the opencv library. [S.l.], 2008. 555 p. Citado na página 41.
- BRASIL. **Caderno de Atenção Básica. Diabetes Mellitus**: Estratégias para o cuidado da pessoa com doença crônica. [S.l.], 2013. 162 p. Citado 3 vezes nas páginas 18, 19 e 20.
- CANNY, J. A computational approach to edge detection. p. 679–698, 1986. Citado na página 27.
- CS, R. **Wound healing in the patient with diabetes mellitus**. [S.l.], 1990. 14 p. Citado na página 15.
- FOLTYNSKI PIOTR LADZYNSKI, J. M. W. P. A new smartphone-based method for wound area measurement. p. 6, 2014. Citado na página 49.
- JEFFCOATE, K. G. H. W. J. Diabetic foot ulcers. p. 7, 2003. Citado na página 21.
- KEAST, C. K. B. D. H. **MEASURE: A proposed assessment framework for developing best practice recommendations for wound assessment**. [S.l.], 2004. 17 p. Citado 4 vezes nas páginas 15, 16, 21 e 22.
- LIMA, E. P. A. Maria Helena de M. **DIABETES MELLITUS E O PROCESSO DE CICATRIZAÇÃO CUTÂNEA**. [S.l.], 2013. 3 p. Citado na página 15.
- OKONKWO, L. A. D. U. A. Diabetes and wound angiogenesis. p. 4, 2019. Citado na página 20.
- OPENCV. **OpenCV 2.4.13.7 Documentation**, <https://docs.opencv.org/2.4/index.html>. [S.l.], 2014. Citado 2 vezes nas páginas 31 e 33.
- OSTERD, D. K. H. L. The basic principles of wound care. p. 4, 1998. Citado 3 vezes nas páginas 18, 19 e 20.
- SHEEHAN, P. Percent change in wound area of diabetic foot ulcers over a 4-week period is a robust predictor of complete healing in a 12-week prospective trial. p. 4, 2003. Citado 2 vezes nas páginas 15 e 21.
- SUZUKI, K. A. S. Topological structural analysis of digitized binary images by border following. p. 15, 1985. Citado na página 30.
- VILLINES, Z. **How does diabetes affect wound healing?** [S.l.], 2019. 1 p. Citado na página 15.
- WHO. Global report on diabetes. p. 88, 2016. Citado 2 vezes nas páginas 19 e 20.
- ZHANG, C. S. T. **A fast parallel algorithm for thinning digital patterns**. [S.l.], 1984. 236-239 p. Citado 2 vezes nas páginas 36 e 47.

Anexos

ANEXO A – Implementação em Java do algoritmo Zhang-Suen Thinning

Esta implementação em Java foi criada por Nayef Reza¹ e posteriormente adaptada para Android usando OpenCV.

```
1 package imageProcessing.service;
2
3 import imageProcessing.model.Point;
4
5 import java.util.LinkedList;
6 import java.util.List;
7
8 /**
9  * Created by nayef on 1/26/15.
10 */
11 public class ThinningService {
12     /**
13      * @param givenImage
14      * @param changeGivenImage decides whether the givenArray should be
15      *   modified or a clone should be used
16      * @return a 2D array of binary image after thinning using zhang-suen
17      *   thinning algo.
18      */
19     public int[][] doZhangSuenThinning(final int[][] givenImage, boolean
20     changeGivenImage) {
21         int[][] binaryImage;
22         if (changeGivenImage) {
23             binaryImage = givenImage;
24         } else {
25             binaryImage = givenImage.clone();
26         }
27         int a, b;
28         List<Point> pointsToChange = new LinkedList();
29         boolean hasChange;
30         do {
31             hasChange = false;
32             for (int y = 1; y + 1 < binaryImage.length; y++) {
33                 for (int x = 1; x + 1 < binaryImage[y].length; x++) {
34                     a = getA(binaryImage, y, x);
35                     b = getB(binaryImage, y, x);
36                     if (binaryImage[y][x] == 1 && 2 <= b && b <= 6 && a ==
37
38
39
40
41
42
43
44
45
46
47
48
49
50
51
52
53
54
55
56
57
58
59
60
61
62
63
64
65
66
67
68
69
70
71
72
73
74
75
76
77
78
79
80
81
82
83
84
85
86
87
88
89
90
91
92
93
94
95
96
97
98
99
100
101
102
103
104
105
106
107
108
109
110
111
112
113
114
115
116
117
118
119
120
121
122
123
124
125
126
127
128
129
130
131
132
133
134
135
136
137
138
139
140
141
142
143
144
145
146
147
148
149
150
151
152
153
154
155
156
157
158
159
160
161
162
163
164
165
166
167
168
169
170
171
172
173
174
175
176
177
178
179
180
181
182
183
184
185
186
187
188
189
190
191
192
193
194
195
196
197
198
199
200
201
202
203
204
205
206
207
208
209
210
211
212
213
214
215
216
217
218
219
220
221
222
223
224
225
226
227
228
229
230
231
232
233
234
235
236
237
238
239
240
241
242
243
244
245
246
247
248
249
250
251
252
253
254
255
256
257
258
259
260
261
262
263
264
265
266
267
268
269
270
271
272
273
274
275
276
277
278
279
280
281
282
283
284
285
286
287
288
289
290
291
292
293
294
295
296
297
298
299
300
301
302
303
304
305
306
307
308
309
310
311
312
313
314
315
316
317
318
319
320
321
322
323
324
325
326
327
328
329
330
331
332
333
334
335
336
337
338
339
340
341
342
343
344
345
346
347
348
349
350
351
352
353
354
355
356
357
358
359
360
361
362
363
364
365
366
367
368
369
370
371
372
373
374
375
376
377
378
379
380
381
382
383
384
385
386
387
388
389
390
391
392
393
394
395
396
397
398
399
400
401
402
403
404
405
406
407
408
409
410
411
412
413
414
415
416
417
418
419
420
421
422
423
424
425
426
427
428
429
430
431
432
433
434
435
436
437
438
439
440
441
442
443
444
445
446
447
448
449
450
451
452
453
454
455
456
457
458
459
460
461
462
463
464
465
466
467
468
469
470
471
472
473
474
475
476
477
478
479
480
481
482
483
484
485
486
487
488
489
490
491
492
493
494
495
496
497
498
499
500
501
502
503
504
505
506
507
508
509
510
511
512
513
514
515
516
517
518
519
520
521
522
523
524
525
526
527
528
529
530
531
532
533
534
535
536
537
538
539
540
541
542
543
544
545
546
547
548
549
550
551
552
553
554
555
556
557
558
559
560
561
562
563
564
565
566
567
568
569
570
571
572
573
574
575
576
577
578
579
580
581
582
583
584
585
586
587
588
589
590
591
592
593
594
595
596
597
598
599
600
601
602
603
604
605
606
607
608
609
610
611
612
613
614
615
616
617
618
619
620
621
622
623
624
625
626
627
628
629
630
631
632
633
634
635
636
637
638
639
640
641
642
643
644
645
646
647
648
649
650
651
652
653
654
655
656
657
658
659
660
661
662
663
664
665
666
667
668
669
670
671
672
673
674
675
676
677
678
679
680
681
682
683
684
685
686
687
688
689
690
691
692
693
694
695
696
697
698
699
700
701
702
703
704
705
706
707
708
709
710
711
712
713
714
715
716
717
718
719
720
721
722
723
724
725
726
727
728
729
730
731
732
733
734
735
736
737
738
739
740
741
742
743
744
745
746
747
748
749
750
751
752
753
754
755
756
757
758
759
760
761
762
763
764
765
766
767
768
769
770
771
772
773
774
775
776
777
778
779
780
781
782
783
784
785
786
787
788
789
790
791
792
793
794
795
796
797
798
799
800
801
802
803
804
805
806
807
808
809
810
811
812
813
814
815
816
817
818
819
820
821
822
823
824
825
826
827
828
829
830
831
832
833
834
835
836
837
838
839
840
841
842
843
844
845
846
847
848
849
850
851
852
853
854
855
856
857
858
859
860
861
862
863
864
865
866
867
868
869
870
871
872
873
874
875
876
877
878
879
880
881
882
883
884
885
886
887
888
889
890
891
892
893
894
895
896
897
898
899
900
901
902
903
904
905
906
907
908
909
910
911
912
913
914
915
916
917
918
919
920
921
922
923
924
925
926
927
928
929
930
931
932
933
934
935
936
937
938
939
940
941
942
943
944
945
946
947
948
949
950
951
952
953
954
955
956
957
958
959
960
961
962
963
964
965
966
967
968
969
970
971
972
973
974
975
976
977
978
979
980
981
982
983
984
985
986
987
988
989
990
991
992
993
994
995
996
997
998
999
1000
1001
1002
1003
1004
1005
1006
1007
1008
1009
1010
1011
1012
1013
1014
1015
1016
1017
1018
1019
1020
1021
1022
1023
1024
1025
1026
1027
1028
1029
1030
1031
1032
1033
1034
1035
1036
1037
1038
1039
1040
1041
1042
1043
1044
1045
1046
1047
1048
1049
1050
1051
1052
1053
1054
1055
1056
1057
1058
1059
1060
1061
1062
1063
1064
1065
1066
1067
1068
1069
1070
1071
1072
1073
1074
1075
1076
1077
1078
1079
1080
1081
1082
1083
1084
1085
1086
1087
1088
1089
1090
1091
1092
1093
1094
1095
1096
1097
1098
1099
1100
1101
1102
1103
1104
1105
1106
1107
1108
1109
1110
1111
1112
1113
1114
1115
1116
1117
1118
1119
1120
1121
1122
1123
1124
1125
1126
1127
1128
1129
1130
1131
1132
1133
1134
1135
1136
1137
1138
1139
1140
1141
1142
1143
1144
1145
1146
1147
1148
1149
1150
1151
1152
1153
1154
1155
1156
1157
1158
1159
1160
1161
1162
1163
1164
1165
1166
1167
1168
1169
1170
1171
1172
1173
1174
1175
1176
1177
1178
1179
1180
1181
1182
1183
1184
1185
1186
1187
1188
1189
1190
1191
1192
1193
1194
1195
1196
1197
1198
1199
1200
1201
1202
1203
1204
1205
1206
1207
1208
1209
1210
1211
1212
1213
1214
1215
1216
1217
1218
1219
1220
1221
1222
1223
1224
1225
1226
1227
1228
1229
1230
1231
1232
1233
1234
1235
1236
1237
1238
1239
1240
1241
1242
1243
1244
1245
1246
1247
1248
1249
1250
1251
1252
1253
1254
1255
1256
1257
1258
1259
1260
1261
1262
1263
1264
1265
1266
1267
1268
1269
1270
1271
1272
1273
1274
1275
1276
1277
1278
1279
1280
1281
1282
1283
1284
1285
1286
1287
1288
1289
1290
1291
1292
1293
1294
1295
1296
1297
1298
1299
1300
1301
1302
1303
1304
1305
1306
1307
1308
1309
1310
1311
1312
1313
1314
1315
1316
1317
1318
1319
1320
1321
1322
1323
1324
1325
1326
1327
1328
1329
1330
1331
1332
1333
1334
1335
1336
1337
1338
1339
1340
1341
1342
1343
1344
1345
1346
1347
1348
1349
1350
1351
1352
1353
1354
1355
1356
1357
1358
1359
1360
1361
1362
1363
1364
1365
1366
1367
1368
1369
1370
1371
1372
1373
1374
1375
1376
1377
1378
1379
1380
1381
1382
1383
1384
1385
1386
1387
1388
1389
1390
1391
1392
1393
1394
1395
1396
1397
1398
1399
1400
1401
1402
1403
1404
1405
1406
1407
1408
1409
1410
1411
1412
1413
1414
1415
1416
1417
1418
1419
1420
1421
1422
1423
1424
1425
1426
1427
1428
1429
1430
1431
1432
1433
1434
1435
1436
1437
1438
1439
1440
1441
1442
1443
1444
1445
1446
1447
1448
1449
1450
1451
1452
1453
1454
1455
1456
1457
1458
1459
1460
1461
1462
1463
1464
1465
1466
1467
1468
1469
1470
1471
1472
1473
1474
1475
1476
1477
1478
1479
1480
1481
1482
1483
1484
1485
1486
1487
1488
1489
1490
1491
1492
1493
1494
1495
1496
1497
1498
1499
1500
1501
1502
1503
1504
1505
1506
1507
1508
1509
1510
1511
1512
1513
1514
1515
1516
1517
1518
1519
1520
1521
1522
1523
1524
1525
1526
1527
1528
1529
1530
1531
1532
1533
1534
1535
1536
1537
1538
1539
1540
1541
1542
1543
1544
1545
1546
1547
1548
1549
1550
1551
1552
1553
1554
1555
1556
1557
1558
1559
1560
1561
1562
1563
1564
1565
1566
1567
1568
1569
1570
1571
1572
1573
1574
1575
1576
1577
1578
1579
1580
1581
1582
1583
1584
1585
1586
1587
1588
1589
1590
1591
1592
1593
1594
1595
1596
1597
1598
1599
1600
1601
1602
1603
1604
1605
1606
1607
1608
1609
1610
1611
1612
1613
1614
1615
1616
1617
1618
1619
1620
1621
1622
1623
1624
1625
1626
1627
1628
1629
1630
1631
1632
1633
1634
1635
1636
1637
1638
1639
1640
1641
1642
1643
1644
1645
1646
1647
1648
1649
1650
1651
1652
1653
1654
1655
1656
1657
1658
1659
1660
1661
1662
1663
1664
1665
1666
1667
1668
1669
1670
1671
1672
1673
1674
1675
1676
1677
1678
1679
1680
1681
1682
1683
1684
1685
1686
1687
1688
1689
1690
1691
1692
1693
1694
1695
1696
1697
1698
1699
1700
1701
1702
1703
1704
1705
1706
1707
1708
1709
1710
1711
1712
1713
1714
1715
1716
1717
1718
1719
1720
1721
1722
1723
1724
1725
1726
1727
1728
1729
1730
1731
1732
1733
1734
1735
1736
1737
1738
1739
1740
1741
1742
1743
1744
1745
1746
1747
1748
1749
1750
1751
1752
1753
1754
1755
1756
1757
1758
1759
1760
1761
1762
1763
1764
1765
1766
1767
1768
1769
1770
1771
1772
1773
1774
1775
1776
1777
1778
1779
1780
1781
1782
1783
1784
1785
1786
1787
1788
1789
1790
1791
1792
1793
1794
1795
1796
1797
1798
1799
1800
1801
1802
1803
1804
1805
1806
1807
1808
1809
1810
1811
1812
1813
1814
1815
1816
1817
1818
1819
1820
1821
1822
1823
1824
1825
1826
1827
1828
1829
1830
1831
1832
1833
1834
1835
1836
1837
1838
1839
1840
1841
1842
1843
1844
1845
1846
1847
1848
1849
1850
1851
1852
1853
1854
1855
1856
1857
1858
1859
1860
1861
1862
1863
1864
1865
1866
1867
1868
1869
1870
1871
1872
1873
1874
1875
1876
1877
1878
1879
1880
1881
1882
1883
1884
1885
1886
1887
1888
1889
1890
1891
1892
1893
1894
1895
1896
1897
1898
1899
1900
1901
1902
1903
1904
1905
1906
1907
1908
1909
1910
1911
1912
1913
1914
1915
1916
1917
1918
1919
1920
1921
1922
1923
1924
1925
1926
1927
1928
1929
1930
1931
1932
1933
1934
1935
1936
1937
1938
1939
1940
1941
1942
1943
1944
1945
1946
1947
1948
1949
1950
1951
1952
1953
1954
1955
1956
1957
1958
1959
1960
1961
1962
1963
1964
1965
1966
1967
1968
1969
1970
1971
1972
1973
1974
1975
1976
1977
1978
1979
1980
1981
1982
1983
1984
1985
1986
1987
1988
1989
1990
1991
1992
1993
1994
1995
1996
1997
1998
1999
2000
2001
2002
2003
2004
2005
2006
2007
2008
2009
2010
2011
2012
2013
2014
2015
2016
2017
2018
2019
2020
2021
2022
2023
2024
2025
2026
2027
2028
2029
2030
2031
2032
2033
2034
2035
2036
2037
2038
2039
2040
2041
2042
2043
2044
2045
2046
2047
2048
2049
2050
2051
2052
2053
2054
2055
2056
2057
2058
2059
2060
2061
2062
2063
2064
2065
2066
2067
2068
2069
2070
2071
2072
2073
2074
2075
2076
2077
2078
2079
2080
2081
2082
2083
2084
2085
2086
2087
2088
2089
2090
2091
2092
2093
2094
2095
2096
2097
2098
2099
2100
2101
2102
2103
2104
2105
2106
2107
2108
2109
2110
2111
2112
2113
2114
2115
2116
2117
2118
2119
2120
2121
2122
2123
2124
2125
2126
2127
2128
2129
2130
2131
2132
2133
2134
2135
2136
2137
2138
2139
2140
2141
2142
2143
2144
2145
2146
2147
2148
2149
2150
2151
2152
2153
2154
2155
2156
2157
2158
2159
2160
2161
2162
2163
2164
2165
2166
2167
2168
2169
2170
2171
2172
2173
2174
2175
2176
2177
2178
2179
2180
2181
2182
2183
2184
2185
2186
2187
2188
2189
2190
2191
2192
2193
2194
2195
2196
2197
2198
2199
2200
2201
2202
2203
2204
2205
2206
2207
2208
2209
2210
2211
2212
2213
2214
2215
2216
2217
2218
2219
2220
2221
2222
2223
2224
2225
2226
2227
2228
2229
2230
2231
2232
2233
2234
2235
2236
2237
2238
2239
2240
2241
2242
2243
2244
2245
2246
2247
2248
2249
2250
2251
2252
2253
2254
2255
2256
2257
2258
2259
2260
2261
2262
2263
2264
2265
2266
2267
2268
2269
2270
2271
2272
2273
2274
2275
2276
2277
2278
2279
2280
2281
2282
2283
2284
2285
2286
2287
2288
2289
2290
2291
2292
2293
2294
2295
2296
2297
2298
2299
2300
2301
2302
2303
2304
2305
2306
2307
2308
2309
2310
2311
2312
2313
2314
2315
2316
2317
2318
2319
2320
2321
2322
2323
2324
2325
2326
2327
2328
2329
2330
2331
2332
2333
2334
2335
2336
2337
2338
2339
2340
2341
2342
2343
2344
2345
2346
2347
2348
2349
2350
2351
2352
2353
2354
2355
2356
2357
2358
2359
2360
2361
2362
2363
2364
2365
2366
2367
2368
2369
2370
2371
2372
2373
2374
2375
2376
2377
2378
2379
2380
2381
2382
2383
2384
2385
2386
2387
2388
2389
2390
2391
2392
2393
2394
2395
2396
2397
2398
2399
2400
2401
2402
2403
2404
2405
2406
2407
2408
2409
2410
2411
2412
2413
2414
2415
2416
2417
2418
2419
2420
2421
2422
2423
2424
2425
2426
2427
2428
2429
2430
2431
2432
2433
2434
2435
2436
2437
2438
2439
2440
2441
2442
2443
2444
2445
2446
2447
2448
2449
2450
2451
2452
2453
2454
2455
2456
2457
2458
2459
2460
2461
2462
2463
2464
2465
2466
2467
2468
2469
2470
2471
2472
2473
2474
2475
2476
2477
2478
2479
2480
2481
2482
2483
2484
2485
2486
2487
2488
2489
2490
2491
2492
2493
2494
2495
2496
2497
2498
2499
2500
2501
2502
2503
2504
2505
2506
2507
2508
2509
2510
2511
2512
2513
2514
2515
2516
2517
2518
2519
2520
2521
2522
2523
2524
2525
2526
2527
2528
2529
2530
2531
2532
2533
2534
2535
2536
2537
2538
2539
2540
2541
2542
2543
2544
2545
2546
2547
2548
2549
2550
2551
2552
2553
2554
2555
2556
2557
2558
2559
2560
2561
2562
2563
2564
2565
2566
2567
2568
2569
2570
2571
2572
2573
2574
2575
2576
2577
2578
2579
2580
2581
2582
2583
2584
2585
2586
2587
2588
2589
2590
2591
25
```

```

35         && (binaryImage[y][x + 1] * binaryImage[y + 1][
x] * binaryImage[y][x - 1] == 0)) {
36             pointsToChange.add(new Point(x, y));
37 //binaryImage[y][x] = 0;
38             hasChange = true;
39         }
40     }
41 }
42 for (Point point : pointsToChange) {
43     binaryImage[point.getY()][point.getX()] = 0;
44 }
45 pointsToChange.clear();
46 for (int y = 1; y + 1 < binaryImage.length; y++) {
47     for (int x = 1; x + 1 < binaryImage[y].length; x++) {
48         a = getA(binaryImage, y, x);
49         b = getB(binaryImage, y, x);
50         if (binaryImage[y][x] == 1 && 2 <= b && b <= 6 && a ==
1
51             && (binaryImage[y - 1][x] * binaryImage[y][x +
1] * binaryImage[y][x - 1] == 0)
52             && (binaryImage[y - 1][x] * binaryImage[y + 1][
x] * binaryImage[y][x - 1] == 0)) {
53                 pointsToChange.add(new Point(x, y));
54                 hasChange = true;
55             }
56         }
57     }
58     for (Point point : pointsToChange) {
59         binaryImage[point.getY()][point.getX()] = 0;
60     }
61     pointsToChange.clear();
62 } while (hasChange);
63 return binaryImage;
64 }
65
66 private int getA(int [][] binaryImage, int y, int x) {
67     int count = 0;
68 //p2 p3
69     if (y - 1 >= 0 && x + 1 < binaryImage[y].length && binaryImage[y -
1][x] == 0 && binaryImage[y - 1][x + 1] == 1) {
70         count++;
71     }
72 //p3 p4
73     if (y - 1 >= 0 && x + 1 < binaryImage[y].length && binaryImage[y -
1][x + 1] == 0 && binaryImage[y][x + 1] == 1) {
74         count++;
75     }

```

```

76 //p4 p5
77     if (y + 1 < binaryImage.length && x + 1 < binaryImage[y].length &&
        binaryImage[y][x + 1] == 0 && binaryImage[y + 1][x + 1] == 1) {
78         count++;
79     }
80 //p5 p6
81     if (y + 1 < binaryImage.length && x + 1 < binaryImage[y].length &&
        binaryImage[y + 1][x + 1] == 0 && binaryImage[y + 1][x] == 1) {
82         count++;
83     }
84 //p6 p7
85     if (y + 1 < binaryImage.length && x - 1 >= 0 && binaryImage[y + 1][
        x] == 0 && binaryImage[y + 1][x - 1] == 1) {
86         count++;
87     }
88 //p7 p8
89     if (y + 1 < binaryImage.length && x - 1 >= 0 && binaryImage[y + 1][
        x - 1] == 0 && binaryImage[y][x - 1] == 1) {
90         count++;
91     }
92 //p8 p9
93     if (y - 1 >= 0 && x - 1 >= 0 && binaryImage[y][x - 1] == 0 &&
        binaryImage[y - 1][x - 1] == 1) {
94         count++;
95     }
96 //p9 p2
97     if (y - 1 >= 0 && x - 1 >= 0 && binaryImage[y - 1][x - 1] == 0 &&
        binaryImage[y - 1][x] == 1) {
98         count++;
99     }
100     return count;
101 }
102
103 private int getB(int [][] binaryImage, int y, int x) {
104     return binaryImage[y - 1][x] + binaryImage[y - 1][x + 1] +
        binaryImage[y][x + 1]
105         + binaryImage[y + 1][x + 1] + binaryImage[y + 1][x] +
        binaryImage[y + 1][x - 1]
106         + binaryImage[y][x - 1] + binaryImage[y - 1][x - 1];
107 }
108 }

```

Listing A.1 – "Serviço de Afinamento"

```

1 package imageProcessing.model;
2
3 /**
4  * Created by nayef on 1/27/15.

```

```
5  */
6  public class Point {
7      private int x;
8      private int y;
9
10     public Point(int x, int y) {
11         this.x = x;
12         this.y = y;
13     }
14
15     public int getX() {
16         return x;
17     }
18
19     public void setX(int x) {
20         this.x = x;
21     }
22
23     public int getY() {
24         return y;
25     }
26
27     public void setY(int y) {
28         this.y = y;
29     }
30 }
```

Listing A.2 – "Ponto customizado"